最終講義 「建築環境研究室の歩み と最新の研究紹介」

赤林伸一



略歴

1955/11/05 宮城県仙台市に生まれる。

```
1975/04 東北大学 工学部 建築学科入学 1979/03 東北大学 工学部 建築学科卒業 1980/04 東北大学大学院 工学研究科 建築学専攻 修士課程入学 1982/03 東北大学大学院 工学研究科 建築学専攻 修士課程修了 1983/04 東京大学大学院 工学系研究科 博士課程入学
```

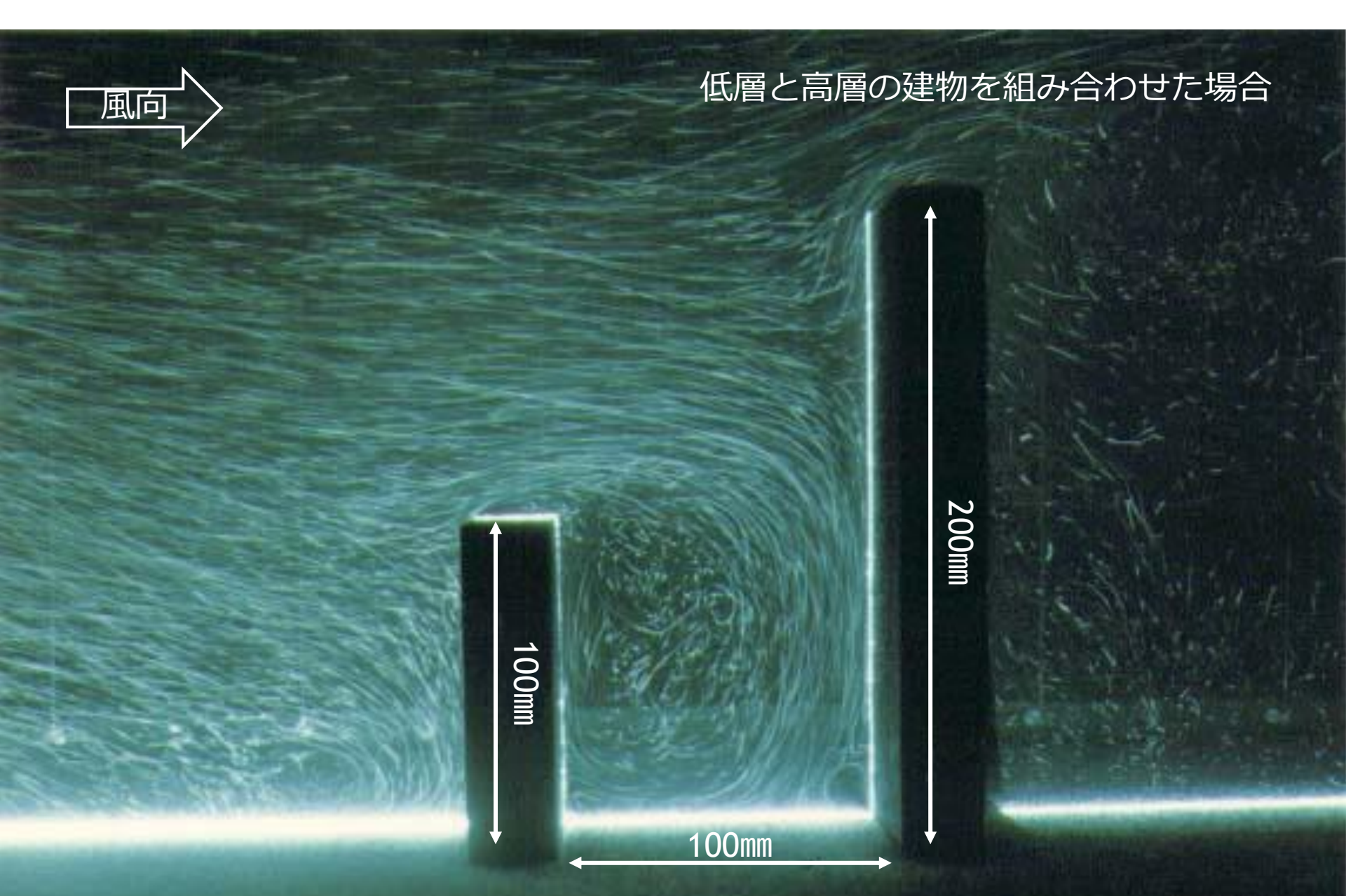
1987/02 東京大学 生産技術研究所 助手 1987/03 東京大学大学院 工学系研究科 博士課程修了 工学博士 <u>博士学位論文:住居の居住環境に関する研究</u>

1987/06 新潟大学 工学部 助教授 1997/04 新潟大学大学院 自然科学研究科 助教授 2003/02 新潟大学大学院 自然科学研究科 教授

2021/03 新潟大学 定年退職 2021/04 新潟大学名誉教授 自然科学系工学部フェロー (現在に至る)



■LLS(Laser Light Sheet)を 使用した**建物周辺気流の乱流構造の可視化**



業績紹介(1992)

■空気調和衛生工学会学会賞 論文賞 集合住宅の共用排気ダクト設計方法に関する研究 合流損失に関する模型実験およびダクト内圧力分布 に関する数値解析

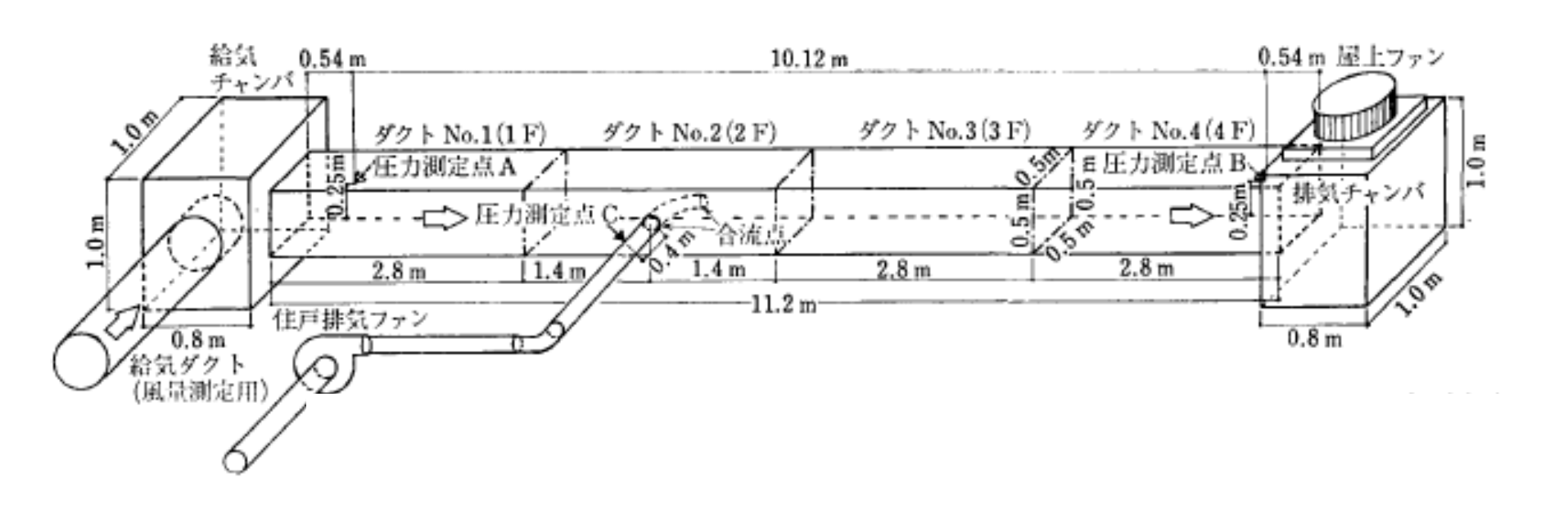


図 模型の概要(実物大で作成)

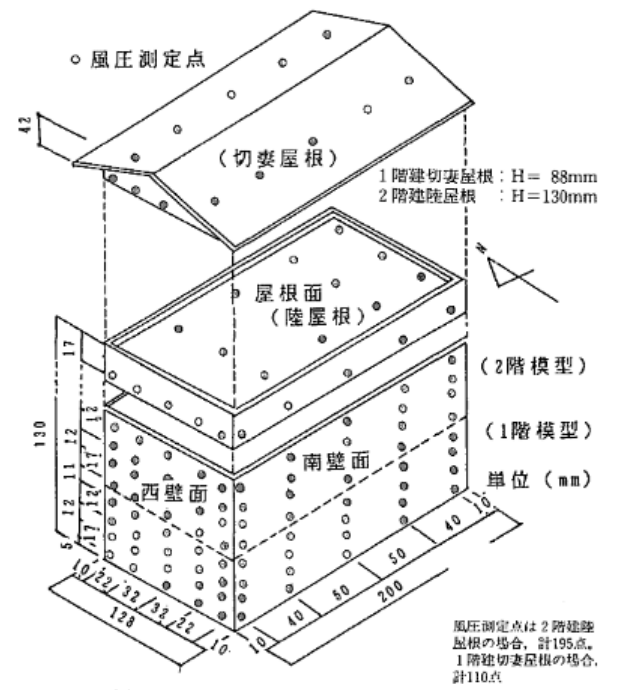
業績紹介(1996)

■日本建築学会奨励賞

「周辺に建物群のある独立 住宅の風圧分布に関する風 洞実験及び換気量予測」 住宅の換気・通風に関す る実験的研究 その1

「気候特性に対応した住宅 の断熟・気密性能に関する 検討」

住宅の換気・通風に関する実験的研究 その2



2) 1 階建切妻屋根模型, 2 階建陸屋根模型

図1 低層建物模型及び風圧測定点

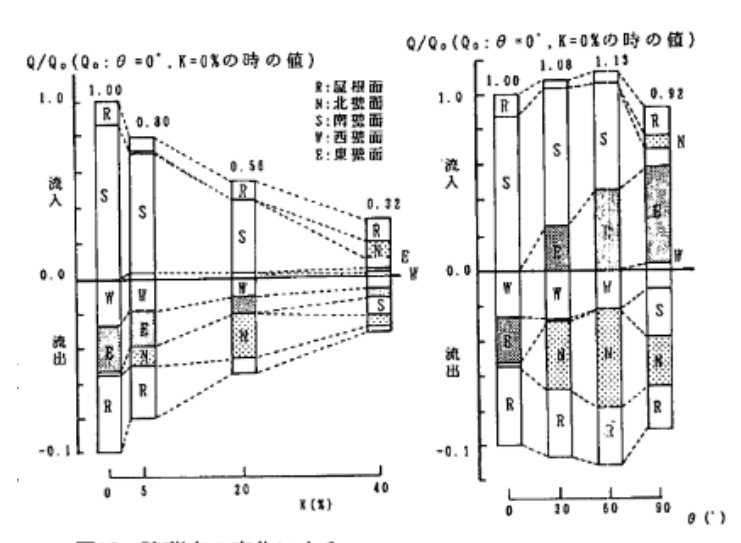


図16 建蔽率の変化による 各面の流入,流出量 (2階建陸屋根, θ=0', n=2) 流入を+,流出を-として表示 θ=0', K=0%の時の値で基準化

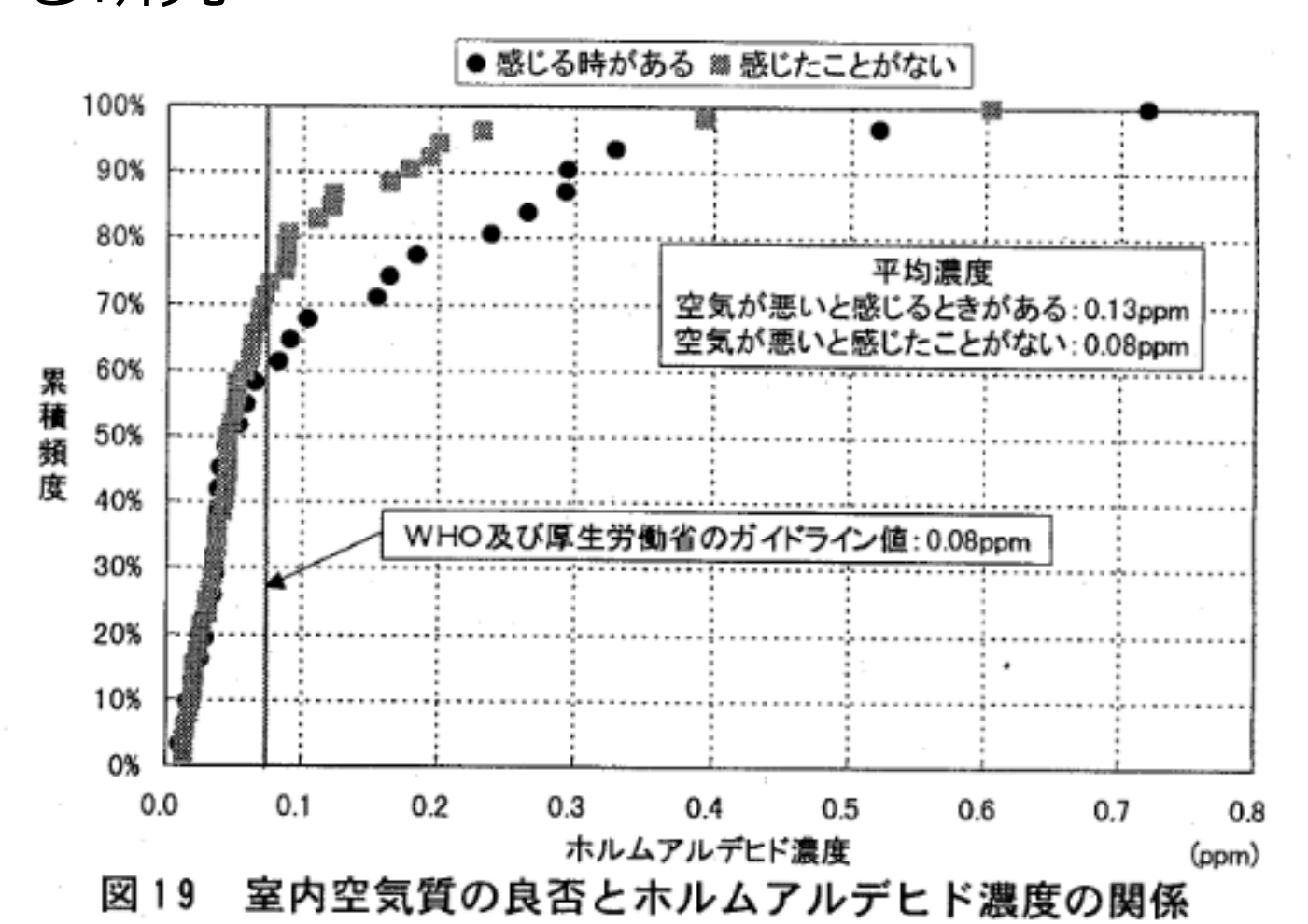
図17 風向変化による 各面の流入,流出量 (2階建陸屋根,K=0%,n=2)

業績紹介(1996)

- ■住宅の換気システムに関する研究 その1 集中換気システムを設置した木造独立住宅 の換気効率に関する実測調査
- ■住宅の換気システムに関する研究 その 2 漏入空気の影響を考慮した換気効率指標の 算出方法

業績紹介(2002)

独立住宅を対象とした**室内化学物質濃度**・シェルター性 能に関する研究



業績紹介(2002)

新潟市における風環境評価に関する研究

表 3 提案する風環境評価尺度

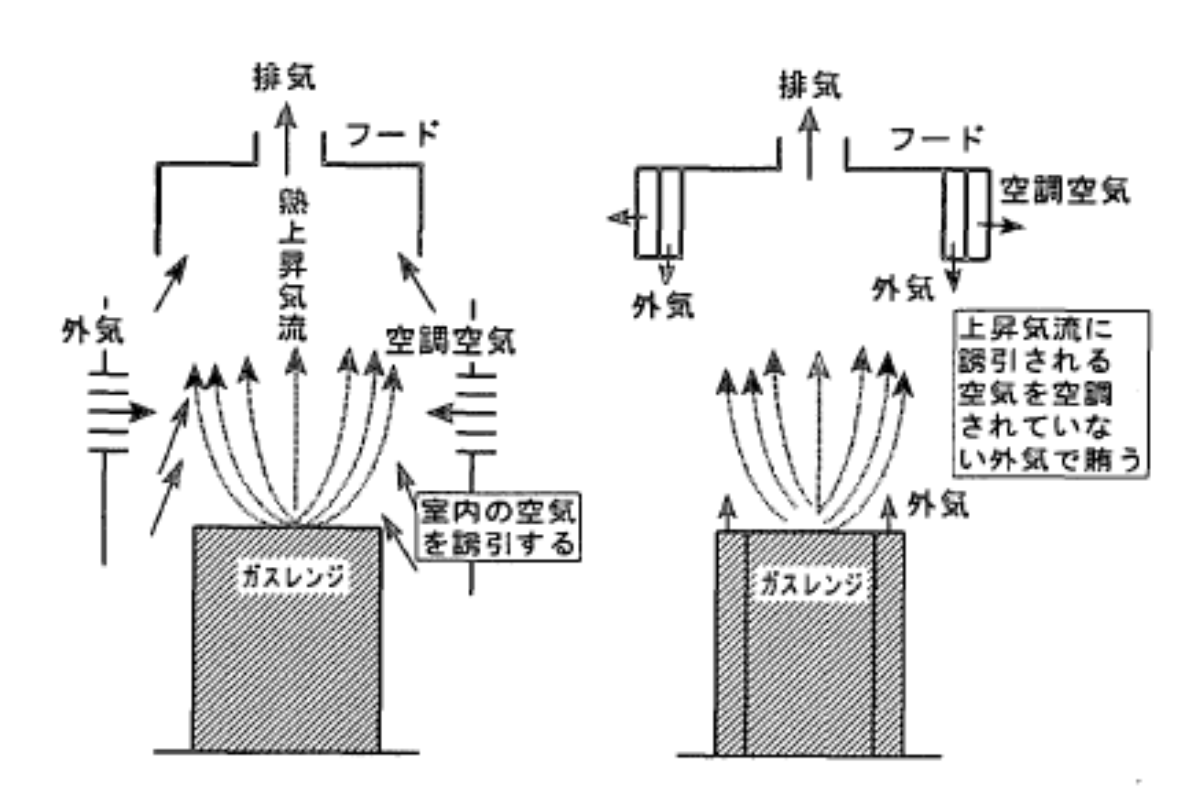
	対応する空間用途		評価する強風のレベルと許容される頻度					
ļ			提案する評価尺度			既往の評価尺度(文献2)		
強風による影響			日最大瞬間風速 [m/s]					
の程度		の例	10	15	20	10	15	20
高さ1.5m			日最大平均图速 [m/s]					
			5.5(1.8)	9(1.6)	12.5(1.6)	10/G.F.	15/G. F.	20/G.F.
ランク1								
最も影響を受けや	住宅地	野外	13%	1.4%	0.15%	10%	0.9%	0.08%
すい用途の場所	の商店街	レストラン	(47日)	(5日)	(0.5日)	(37日)	(3日)	(0.3日)
ランク 2								
影響を受けやすい	住宅地	公園	28%	5.7%	1.1%	22%	3.6%	0.6%
用途の場所			(102日)	(21日)	(4日)	(日08).	(13日)	(2日)
ランク 3								
比較的影響を受け	事務所街		45%	11%	2.7%	35%	7%	1.5X
にくい用途の場所			(164日)	(40日)	(10日)	(128日)	(26日)	(5日)

業績紹介(2003)

■空気調和衛生工学会 学会賞 論文賞

業務用ちゅう房におけるエネルギー消費量と換気・空調

システム



(1) 従来の換気空調システム

(2)提案する換気空調システム

図1 換気・空調システムの概要

業績紹介(2005)

全国の住宅(80戸)を対象とした**エネルギー消費の** 実態に関する研究

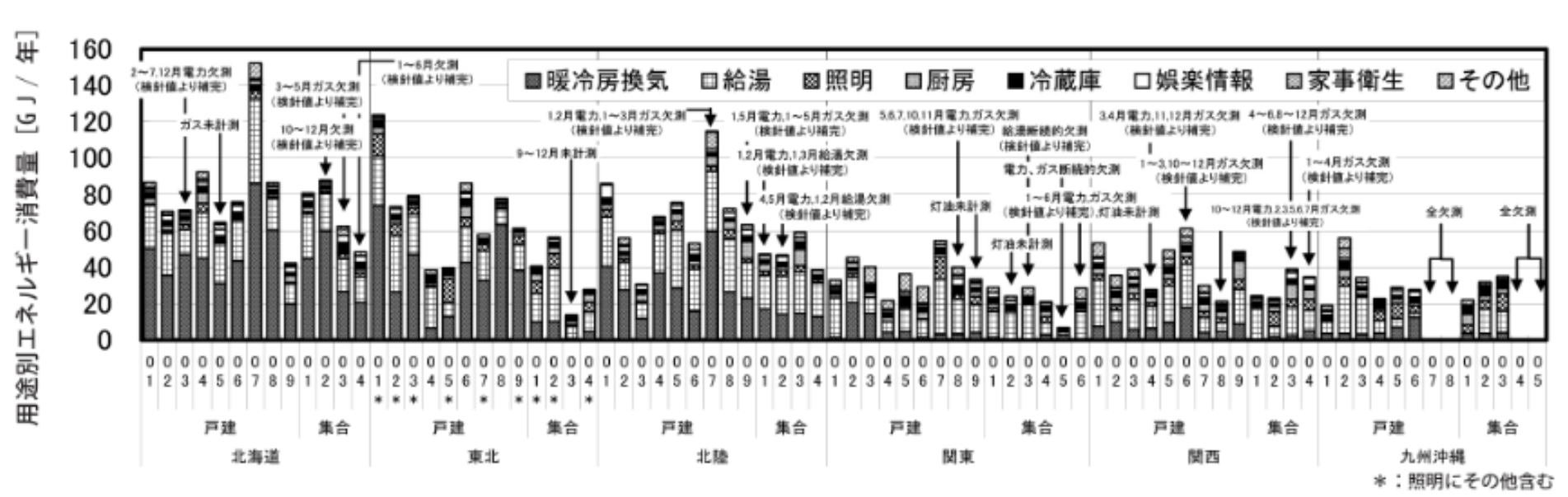


図 用途別エネルギー消費量(2003年)

業績紹介(2008)

- ■日本建築学会 日本建築学会賞(論文)
 - 「ミクロ解析による建物の換気・通風性能に関する
- 一連の研究」

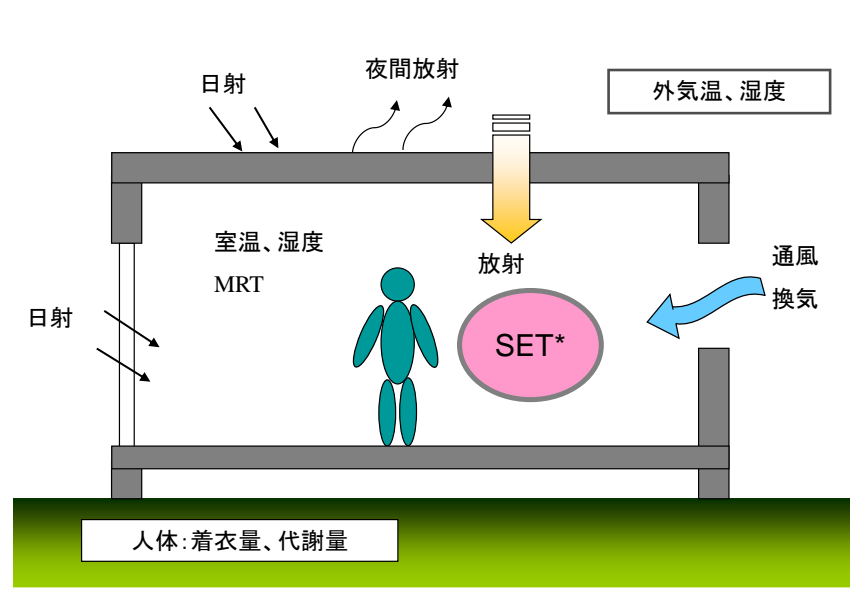


図 室内において人体に影響を 及ぼす外的要因

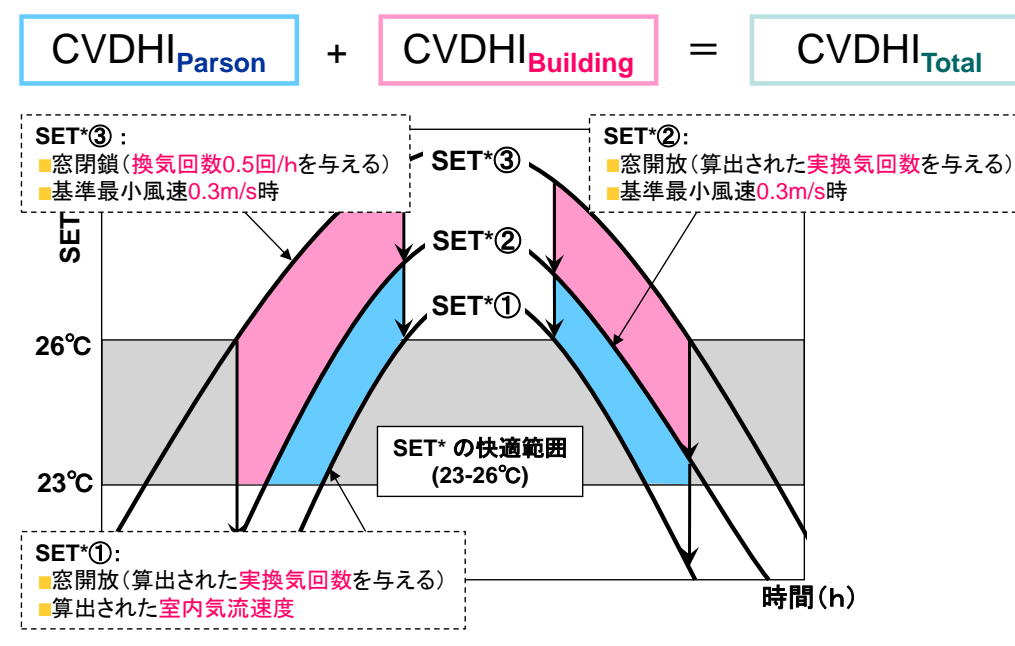


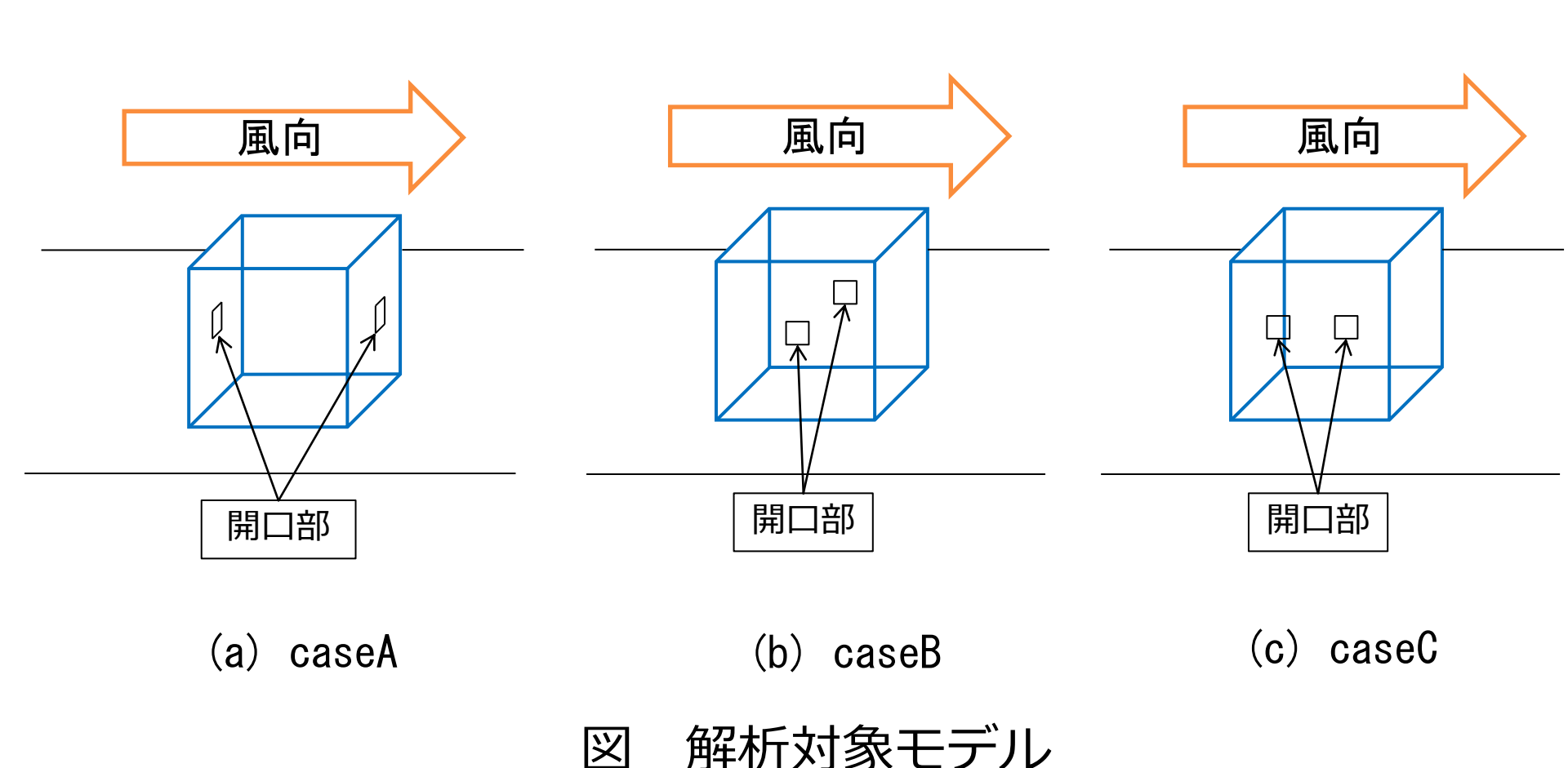
図 室内通風デグリアワー (CVDHI)の算出方法の概要

このほか、例えば下記など多数

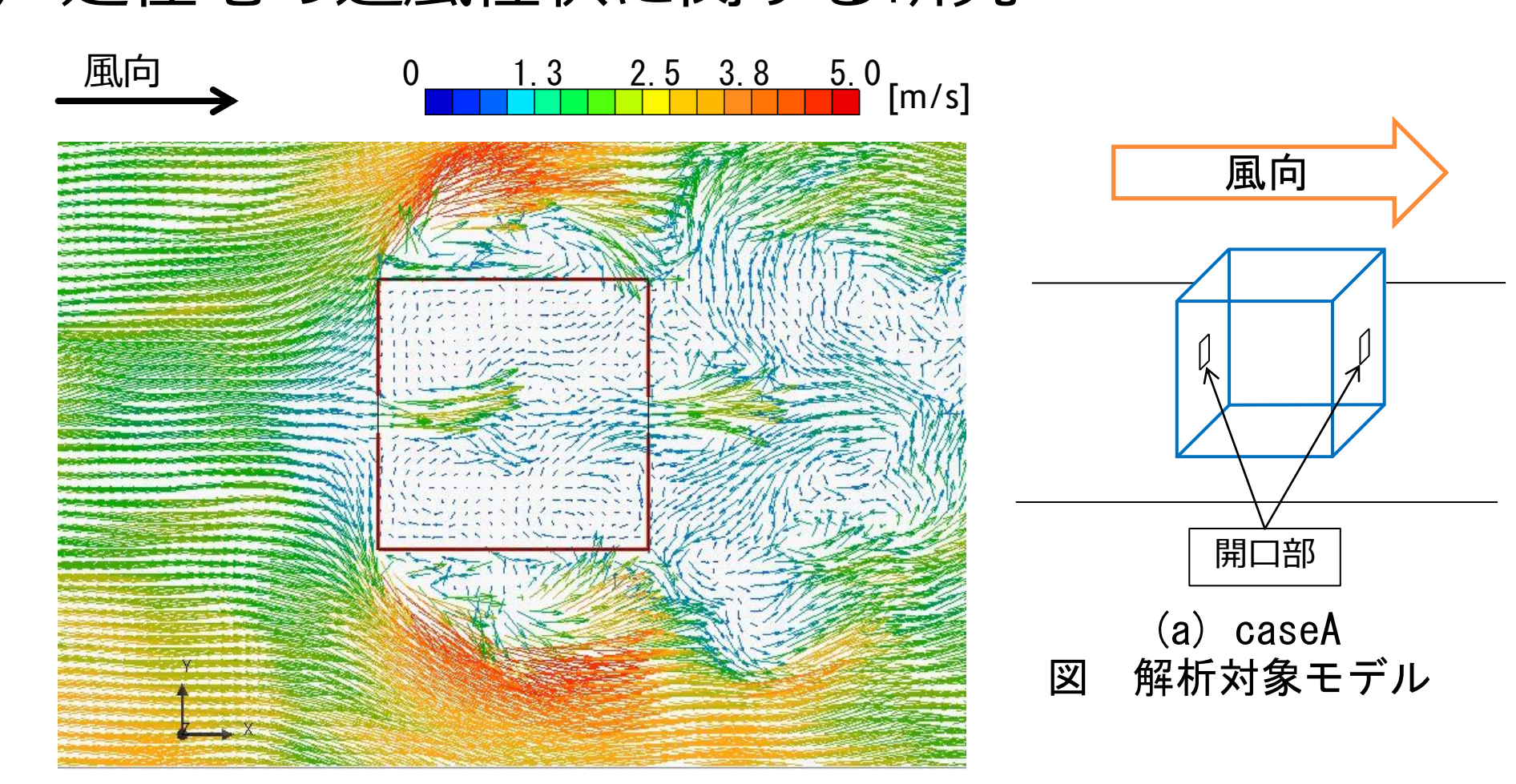
- 住宅の**居住環境性能**に関する研究
- 住宅の**通風性能評価**に関する研究
- 新潟県の住宅における**室内化学物質汚染**に関する調査研究
- 高断熱・高気密住宅における**住まい方とエネルギー消費量**に 関するアンケート調査
- 東北地方を対象とした太陽光発電の有効性の検討
- 住宅用**電化厨房を対象とした高効率換気**に関する研究
- 屋内における**人からの飛沫の拡散**に関する研究
- 新潟市の**全電化住宅におけるエネルギー消費量**に関する研究
- ◆ 木材の地産地消に関する研究
- 建築・都市空間における受動喫煙に関する研究
- 我が国における**電気料金の変遷**に関する研究





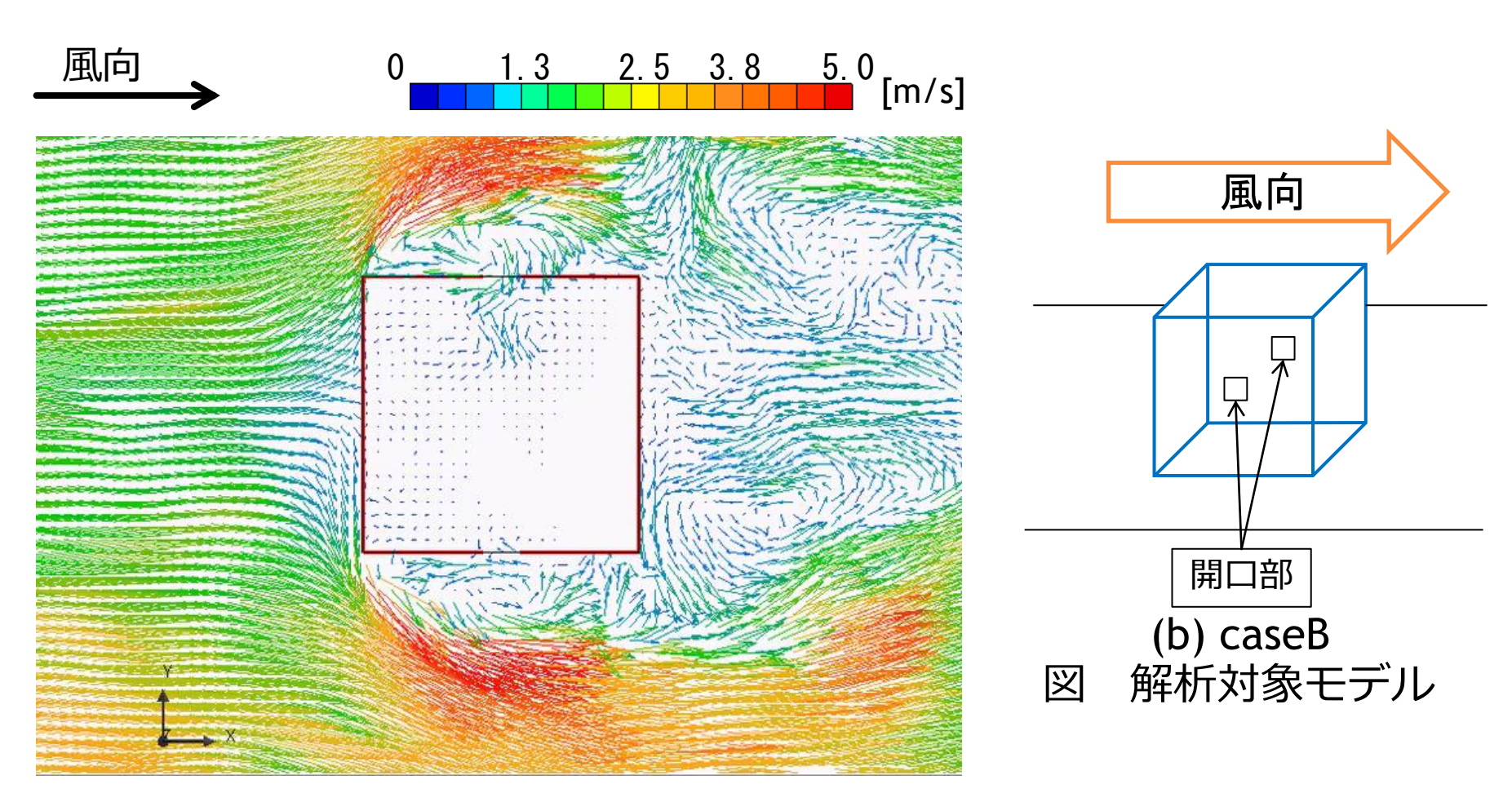






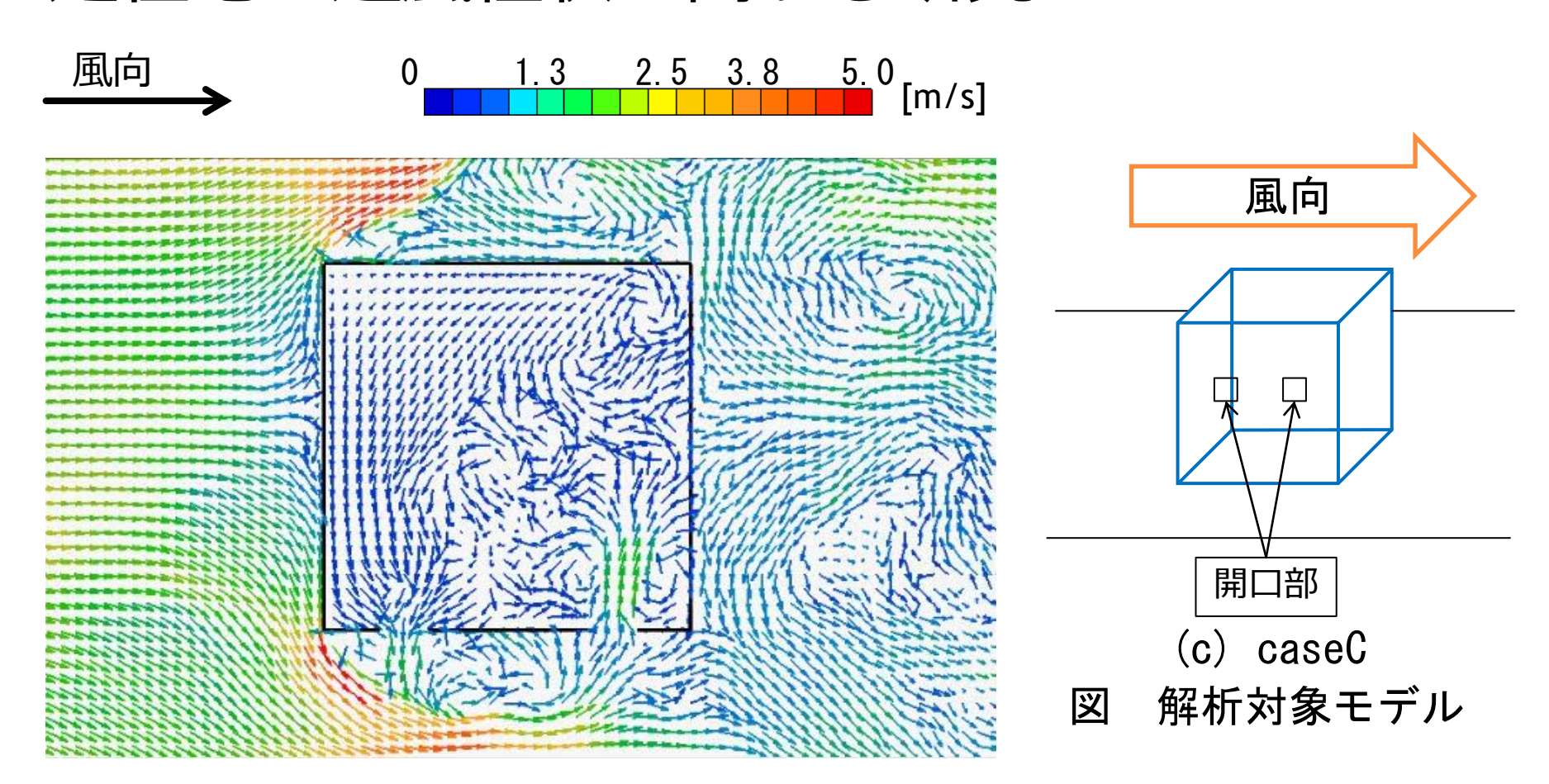
動画 caseAにおける数値解析結果(水平断面)





動画 caseBにおける数値解析結果(水平断面)





動画 caseCにおける数値解析結果(水平断面)



ゼロエネルギーハウス(ZEH)を 対象としたライフサイクルコスト に関する研究



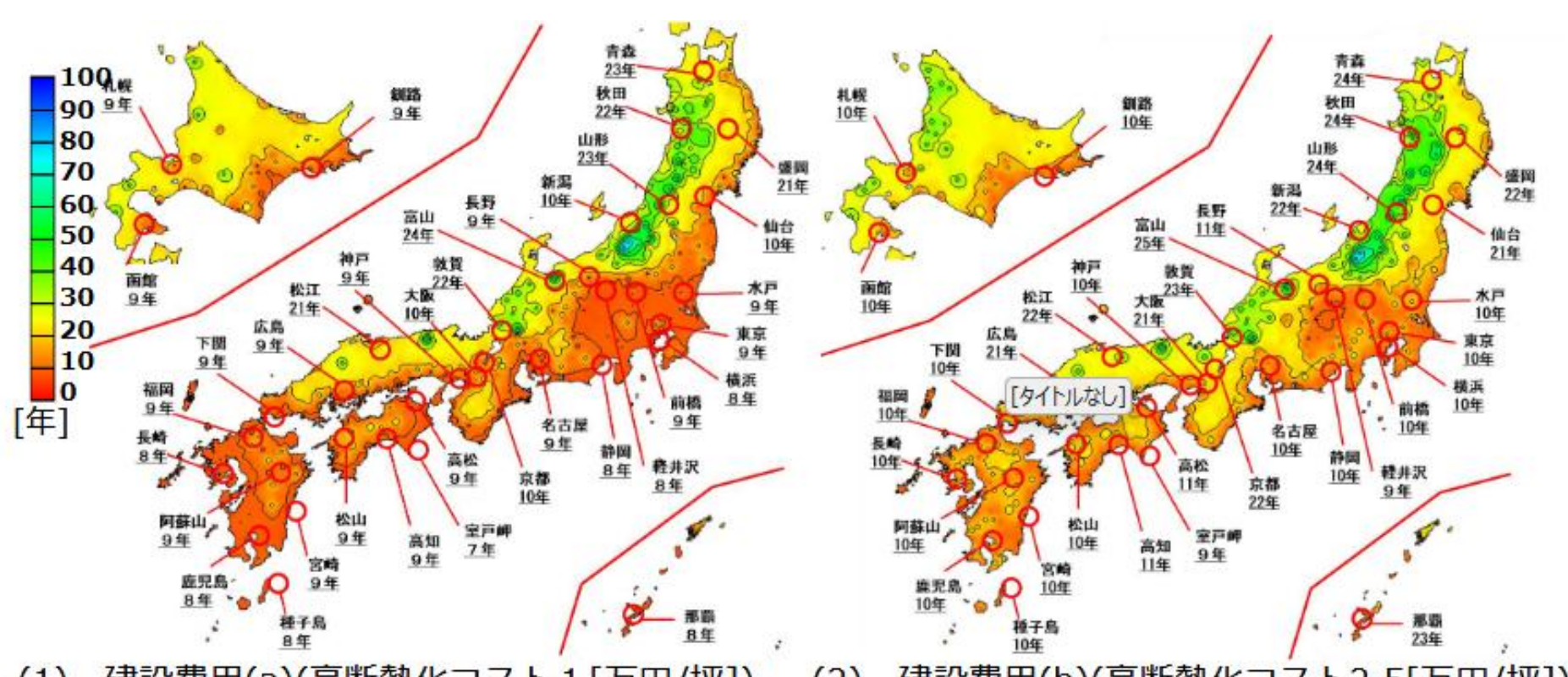
ゼロエネルギーハウス(ZEH)を対象としたライフ サイクルコストに関する研究

ZEHの普及は、増加傾向にある住宅のエネルギー消費量の削減に大きな効果をもたらすと考えられる。<u>しかし住宅のZEH化には</u>、高気密・高断熱化、空調や給湯等の各種住宅設備機器の高効率化と太陽光発電の設置が必要不可欠であり、<u>通常の住宅に対してイニシャルコストが大幅に増加すると考えられる</u>。

ZEHに必要な建設費や太陽光発電,設備更新費等のイニシャルコストと,系統電力からの買電料金及び余剰発電量の売電料金を算出し,ランニングコストを求める。本研究では,ZEH化のイニシャルコストの増加と省エネルギー効果により削減されるランニングコストを検討することでZEHのライフサイクルコストを明らかとすることを目的とする。



ゼロエネルギーハウス(ZEH)を対象としたライフ サイクルコストに関する研究



1) 建設費用(a)(高断熱化コスト1[万円/坪]) (2) 建設費用(b)(高断熱化コスト2.5[万円/坪])

図 全国におけるZEH化費用の投資回収年数



完全人工光型植物工場における 超高効率光反射材を利用した 省工ネ型植物栽培設備の開発研究

完全人工光型植物工場における超高効率光反射材を利用した省工ネ型植物栽培設備の開発研究



図 栽培設備①の外観



図 栽培設備②の外観

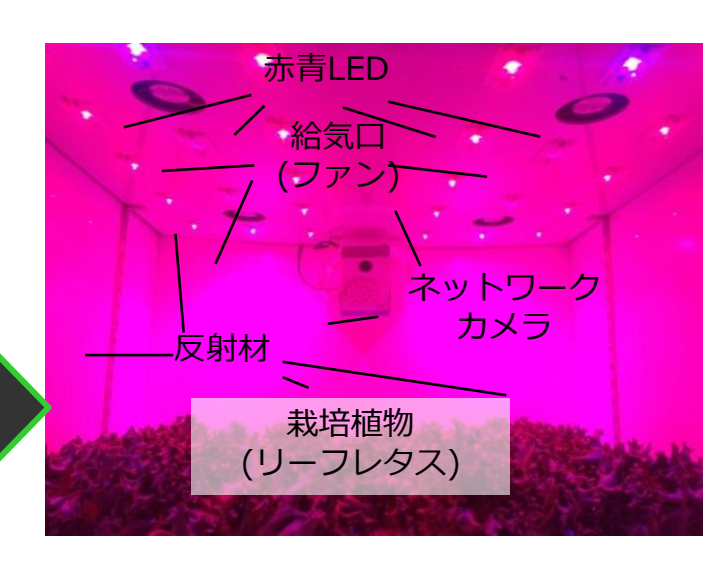
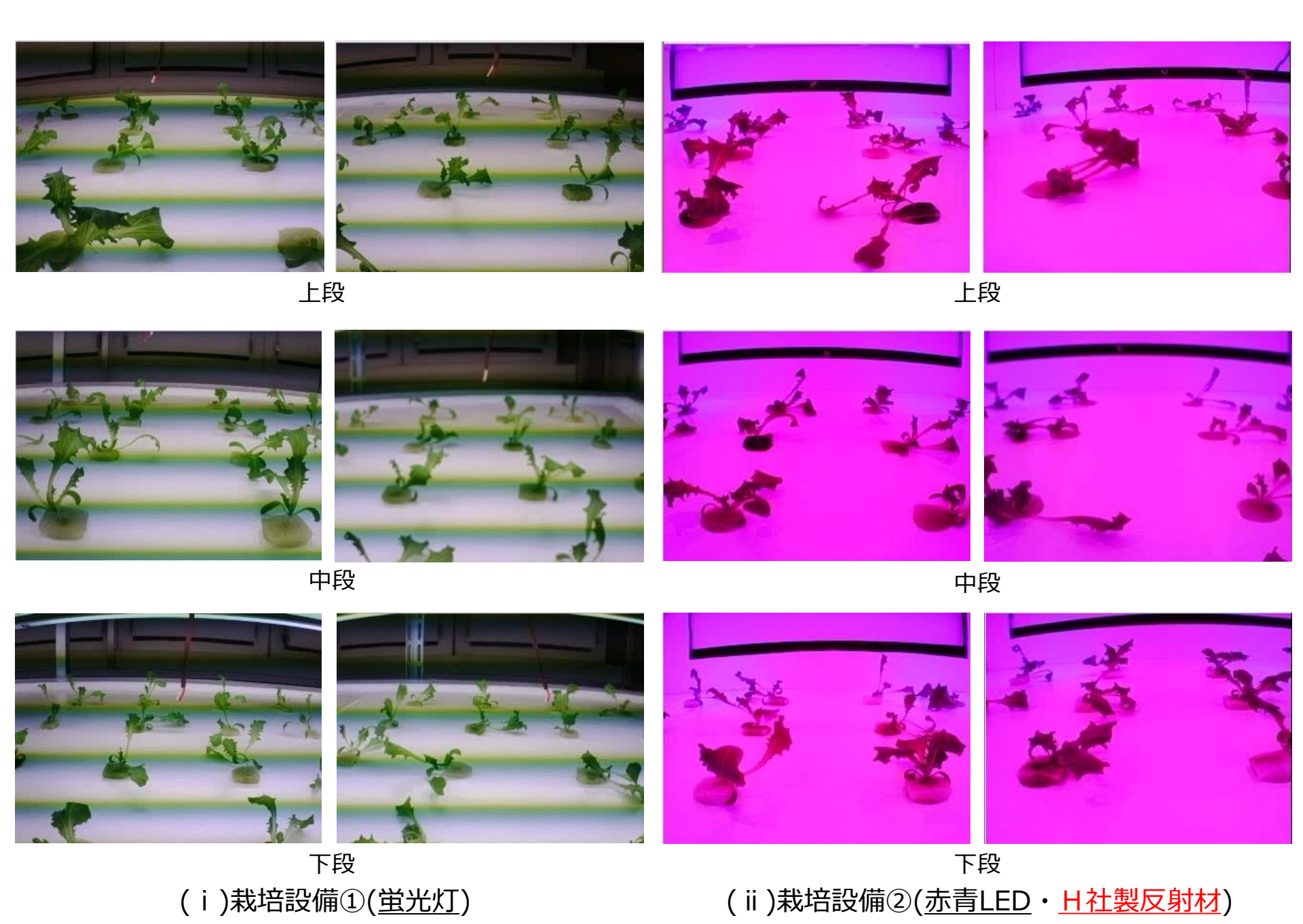


図 栽培設備②の内部



動画 各栽培設備における栽培実験の様子

完全人工光型植物工場における超高効率光反射 材を利用した省工ネ型植物栽培設備の開発研究

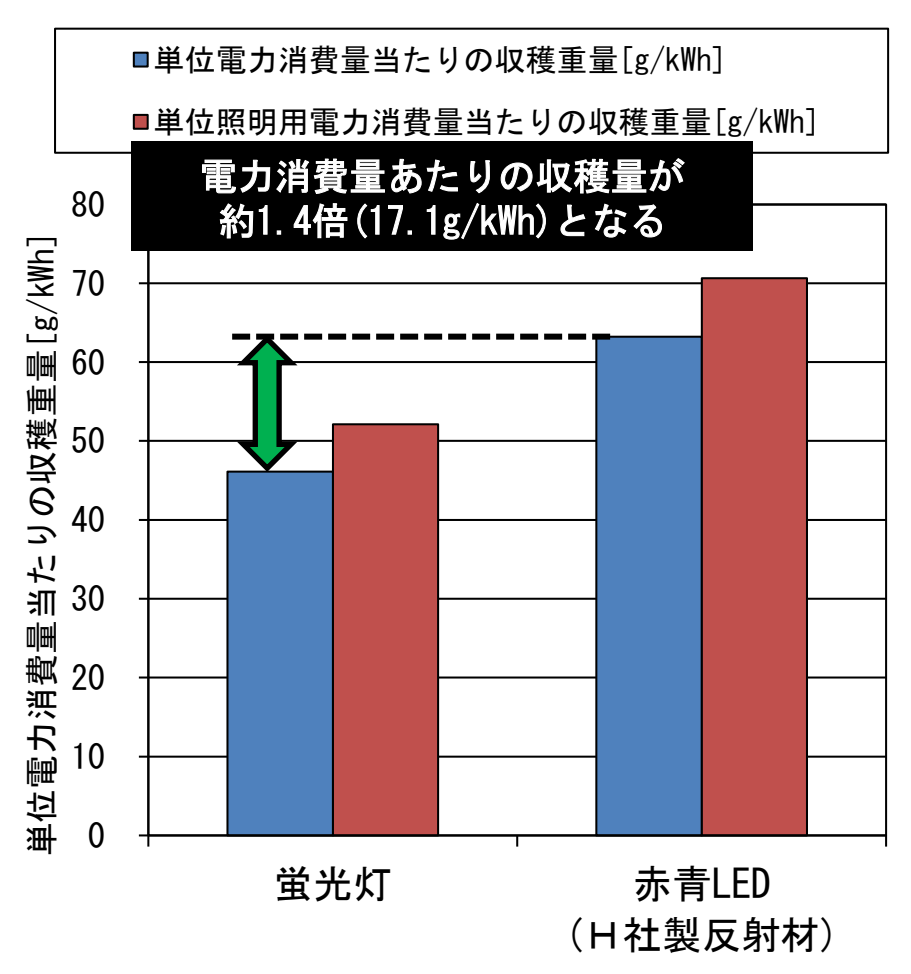


図 冬季におけるリーフレタス栽培実験結果



家庭用エアコンの 最適選定手法に関する研究

家庭用工アコンの最適選定手法に関する研究



図 大手家電量販店における家庭用エアコンの販売状況

家庭用エアコンの最適選定手法に関する研究

赤林研究室ではこれまでに、住宅13棟の居間に設置されているエアコンを対象に家庭用エアコンCOP簡易測定法を用いて実使用時の成績係数を実測し、エアコンが実際に稼働している時のCOP(実COP)の測定を行っている。

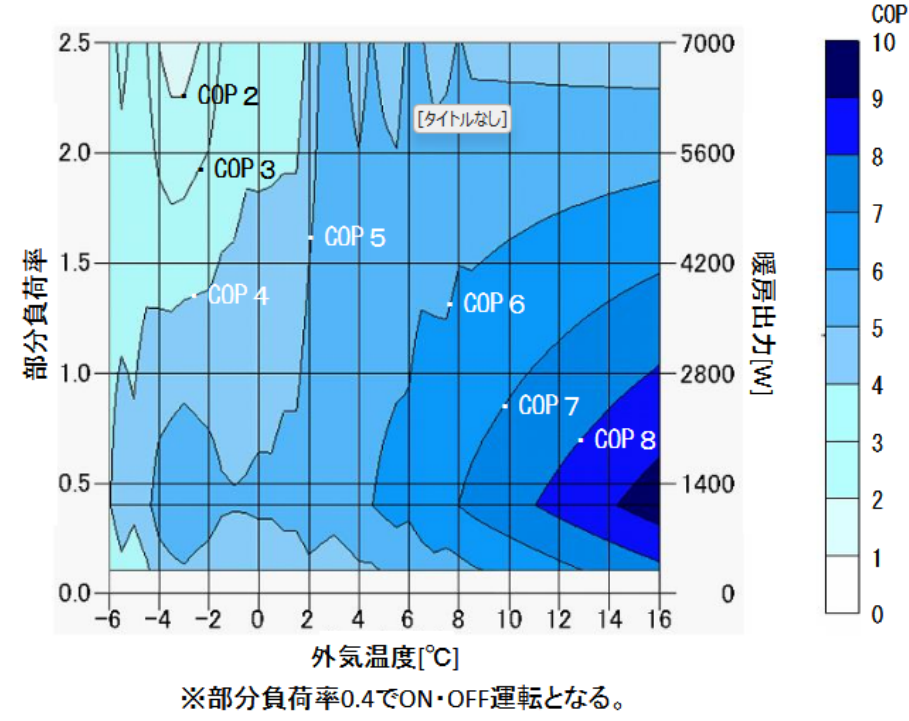


図 実運転時における家庭用エアコンの COPマトリックス(定格暖房能力:2.8kW)

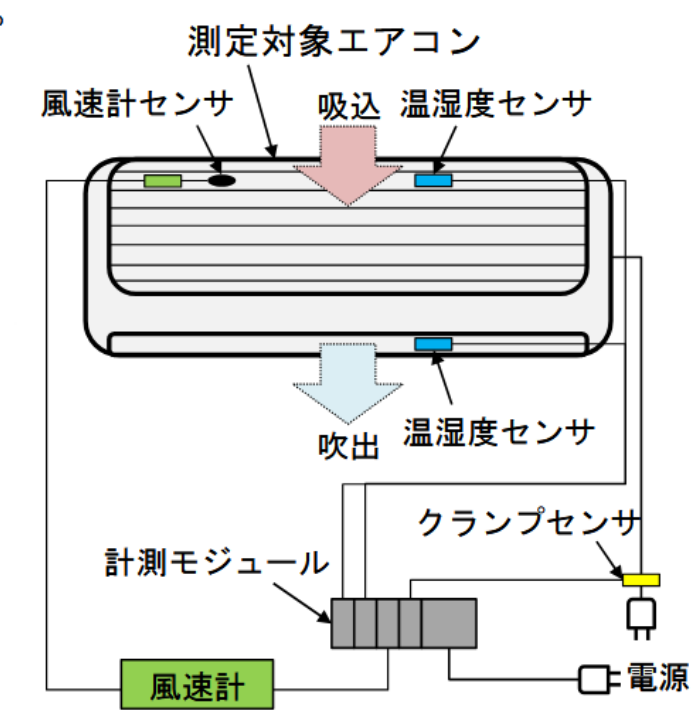


図 家庭用エアコンCOP 簡易測定法の概要

家庭用エアコンの最適選定手法に関する研究

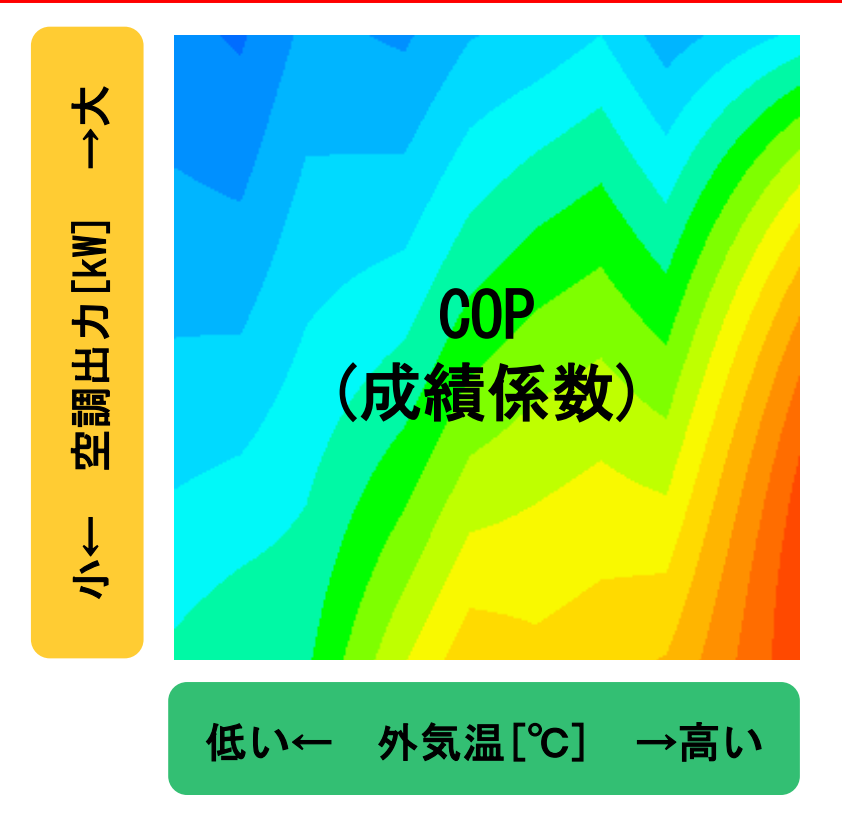
個々の建物の断熱性能に関係なく、<u>断熱性能の極めて低い住</u> <u>宅モデル(1964年仕様)を対象</u>とし、<u>部屋の大きさに応じて</u> <u>部屋ごとにエアコンを機種選定</u>される場合が多い。



近年の高断熱住宅では、<u>過大な定格能力のエアコン</u>が設置され、<u>稼働時の多くの時間はCOPの低い部分負荷運転やON-OFF運転で稼働</u>している。

家庭用エアコンの最適選定手法に関する研究

外気温とエアコンの冷暖房出力、COPの関係(COPマトリックス)が明らかになれば、地域ごと、建物・部屋ごとのエアコンの運転状況(部分負荷率)、COPの年間シミュレーションが可能となる。



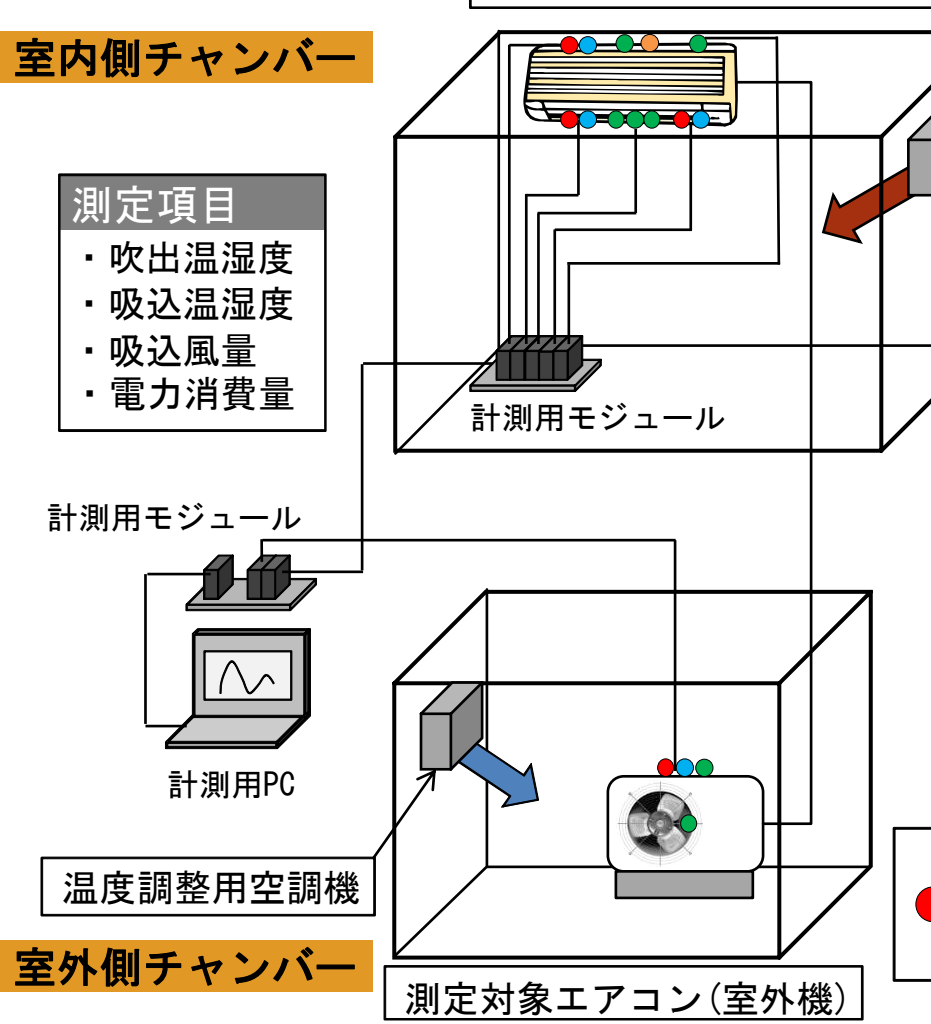


設置する部屋ごとに精度の高い年間暖冷房電力消費量の予測が可能となり、市場で販売されている機種の中から、各住宅の性能と地域の気象条件に合う年間電力簡便に選定消費量が最も少ない機種をすることが可能となる。

図 COPマトリックス(暖房)のイメージ

家庭用エアコンの最適選定手法に関する研究

測定対象エアコン(室内機)



温度調整用空調機

COPマトリックス 測定時のパラメータ

住宅、外気条件

- ・空調負荷 (室内温度)
- 外気温

機器の運転条件

- 風量
- ON/OFF運転
- ※各チャンバーは高性能断熱材で断熱する
- ※測定間隔は1[s]とし、COPの算出には 1分間の平均値を用いる。

):サーミスタ風速計(予め風量との関係を構築)

○: 温湿度計

● :熱電対

図 簡易カロリーメータの概要

家庭用エアコンの最適選定手法に関する研究

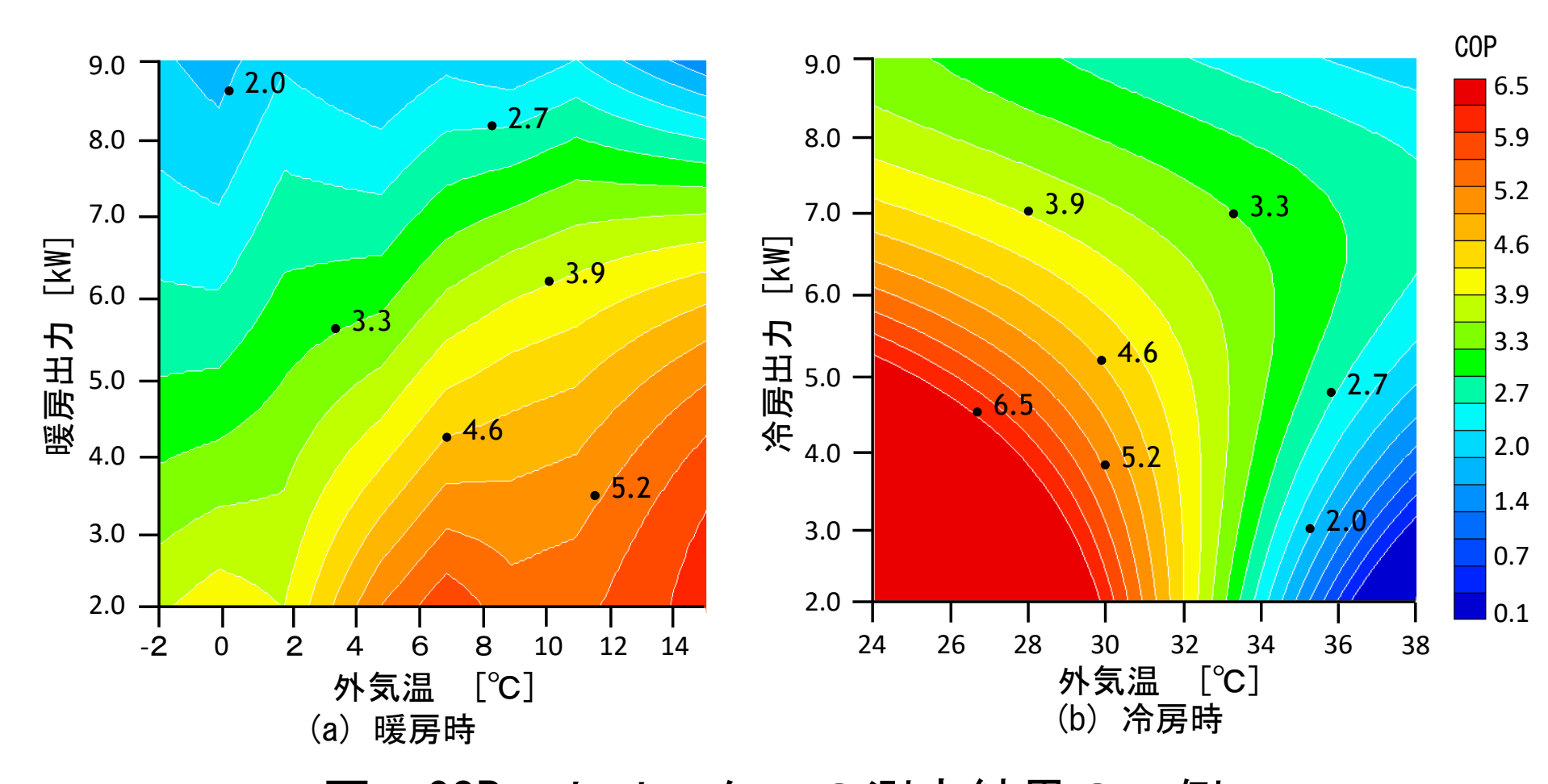
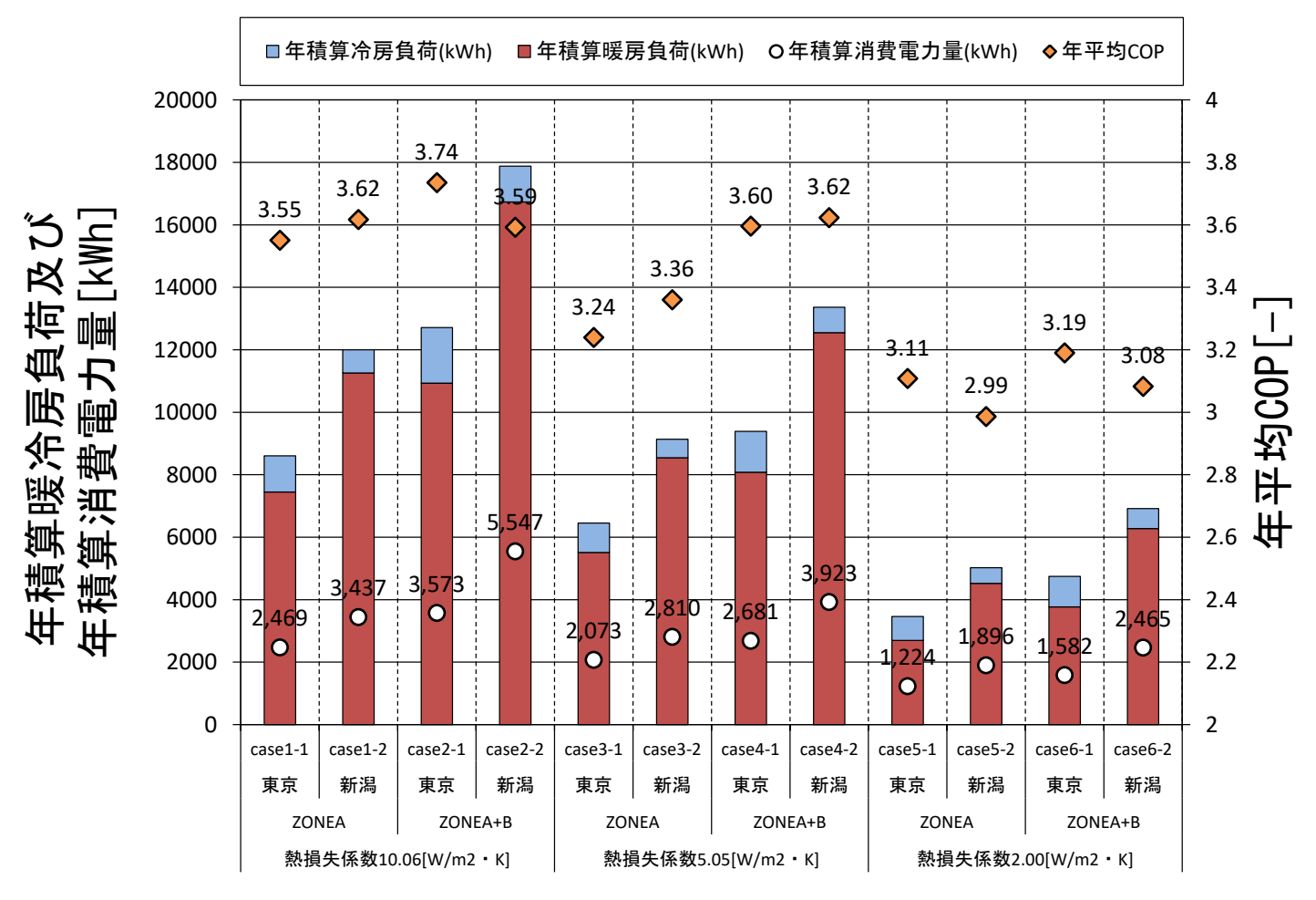


図 COPマトリックスの測定結果の一例 (定格冷房能力7.1kW・定格暖房能力8.5kW、風量4)

义

家庭用エアコンの最適選定手法に関する研究

当該エアコンの通年エネルギー消費効率は4.9、年積算消費電力量は約2900kWh



COPマトリクスから求めた年平均COP(東京、新潟)



家庭用燃料電池による一次エネル ギー削減効果に関する研究

家庭用燃料電池による一次エネルギー削減効果 に関する研究

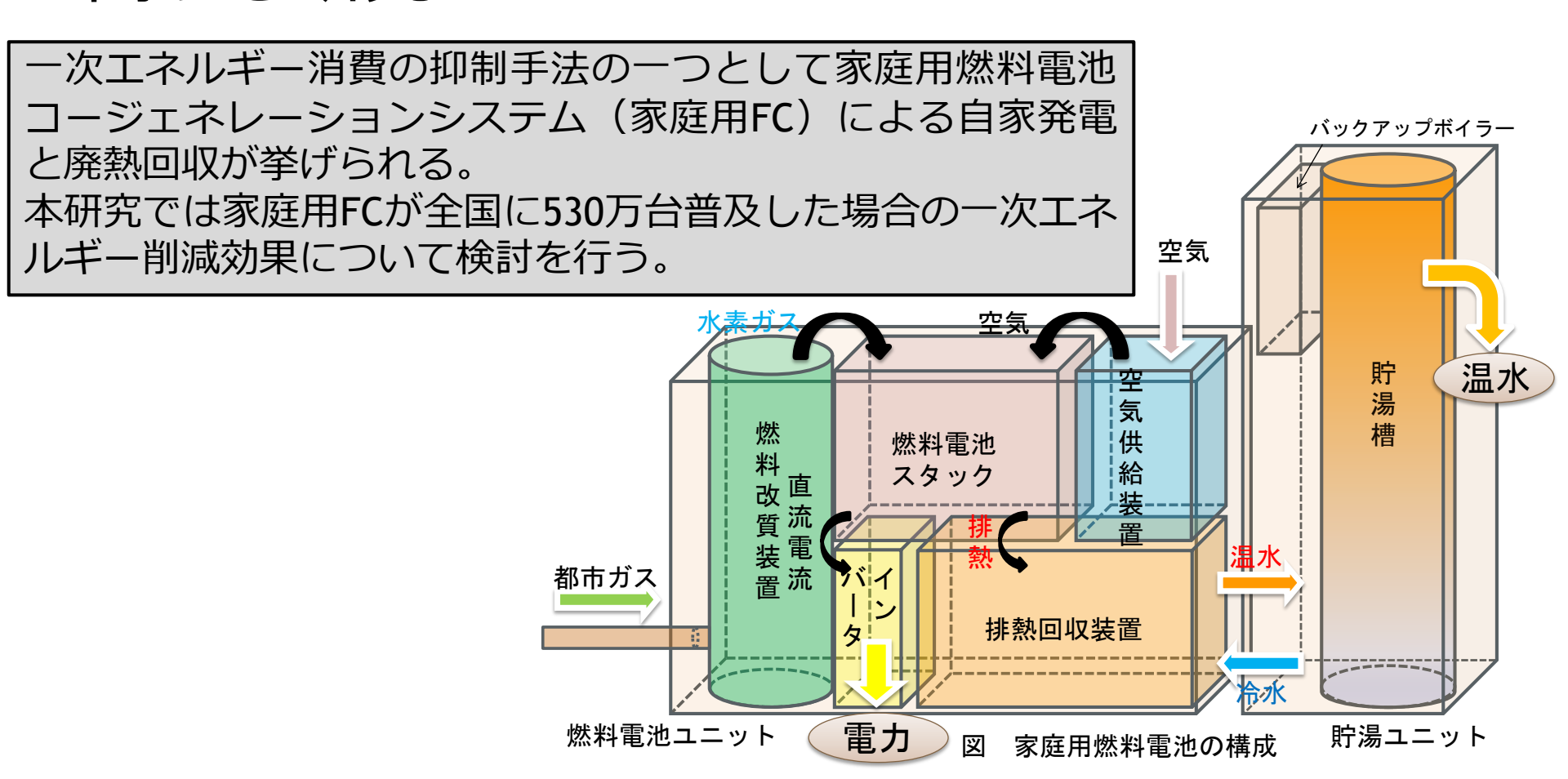


図 家庭用燃料電池コージェネレーションシステム

家庭用燃料電池による一次エネルギー削減効果

に関する研究

家庭用FCの普及により、日本全体の一次エネルギー消費原 単位が減少し、FCが直接設置された住宅以外でも従来と比 較して一次エネルギー削減効果が得られる。

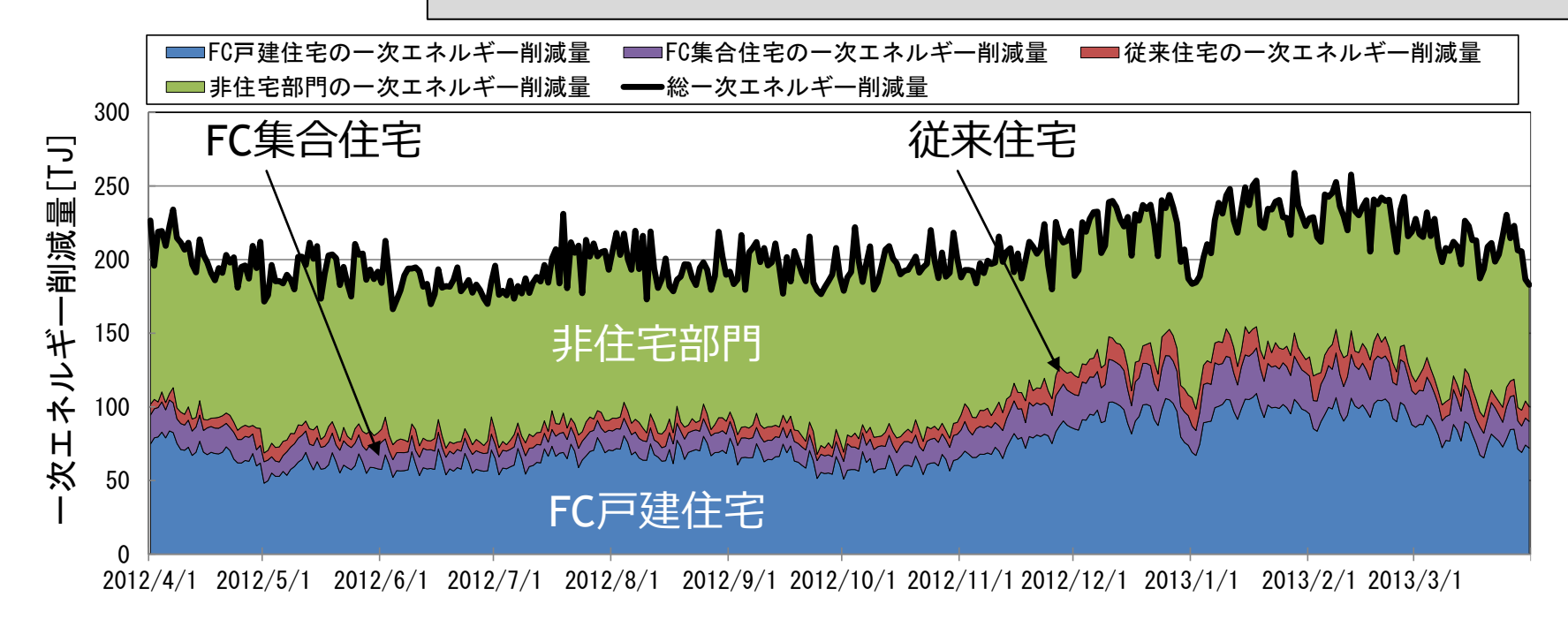


図 日本全国の日積算一次エネルギー削減量



教育施設における エネルギー消費量に関する研究



教育施設におけるエネルギー消費量に関する研究

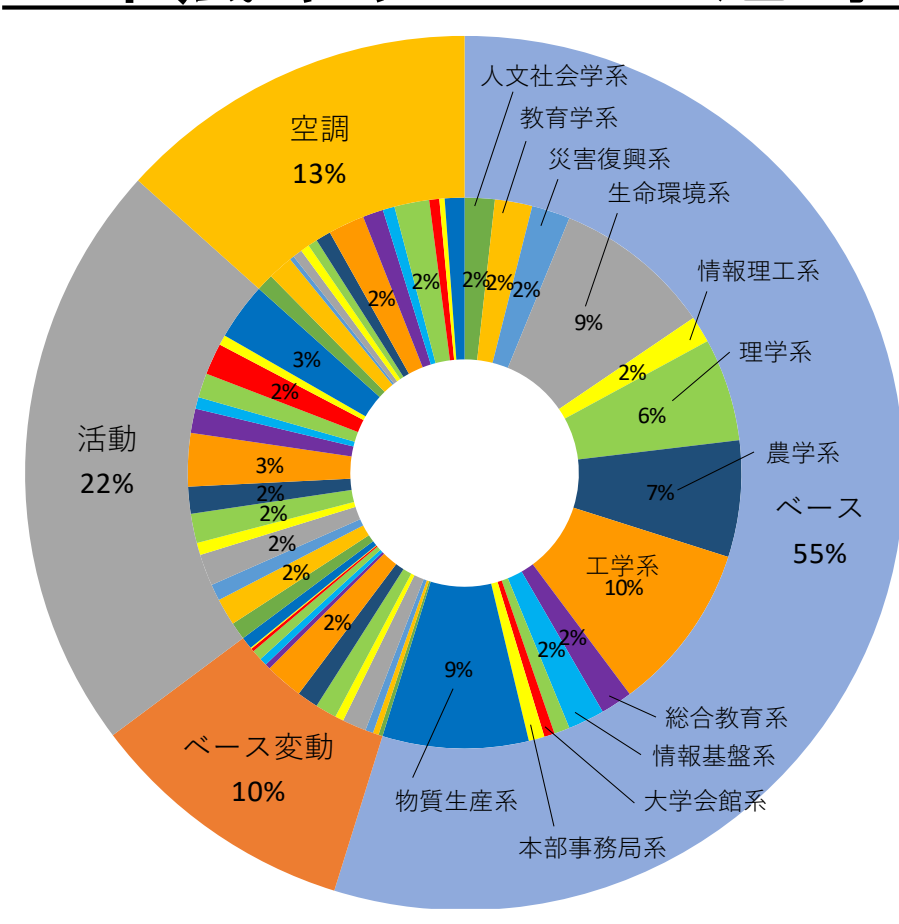
本研究では五十嵐キャンパスを対象とし、1時間ごとの電力消費量のデータが系統別に取得可能である表1に示す13系統において、2012年度から2016年度までの5年間にわたる各配電系統の電力消費量の推移について分析を行う。



図 五十嵐キャンパスにおける電力の配電系統



教育施設におけるエネルギー消費量に関する研究 五十嵐キャンパスと旭町キャンパスの比較



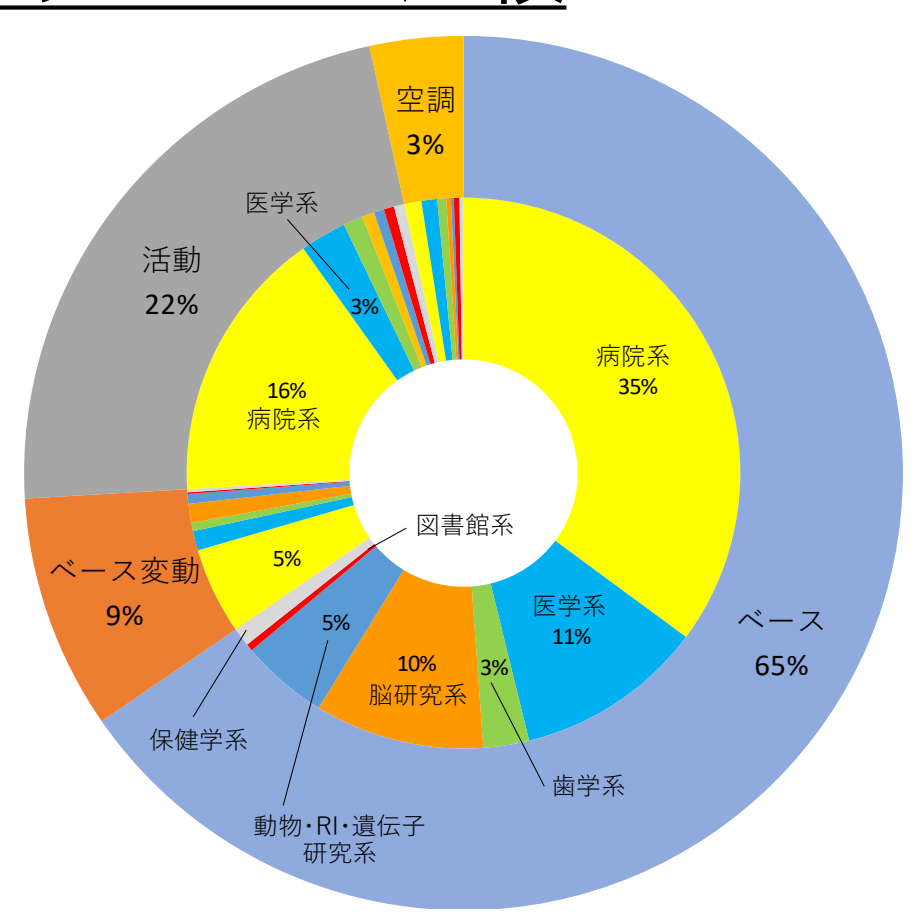


図 2017年度の五十嵐キャンパスの 年積算電力消費構成

図 2017年度の旭町キャンパスの 年積算電力消費構成



太陽光発電を利用した データセンターに関する研究



太陽光発電を利用したデータセンターに関する研究

メガソーラー発電事業者において、発電電力の固定価格買取制度(FIT)の買取 期間が終了した後の発電電力の活用方法が課題となっている。

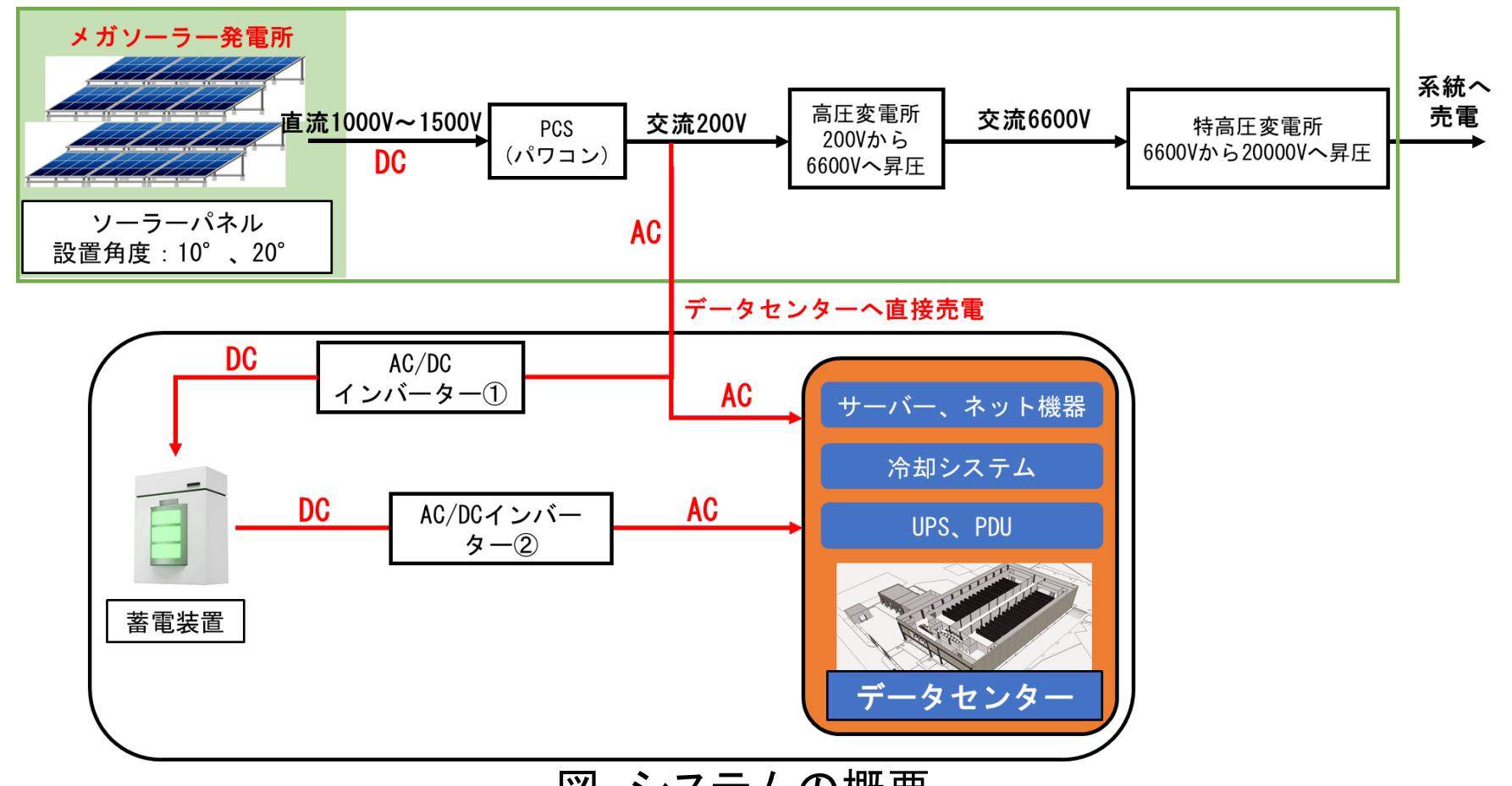


図 システムの概要



太陽光発電を利用したデータセンターに関する研究

本研究ではFITの買取期間が終了したメガソーラー発電所の発電電力と、データセンターの脱炭素化に着目し、検討を行う。

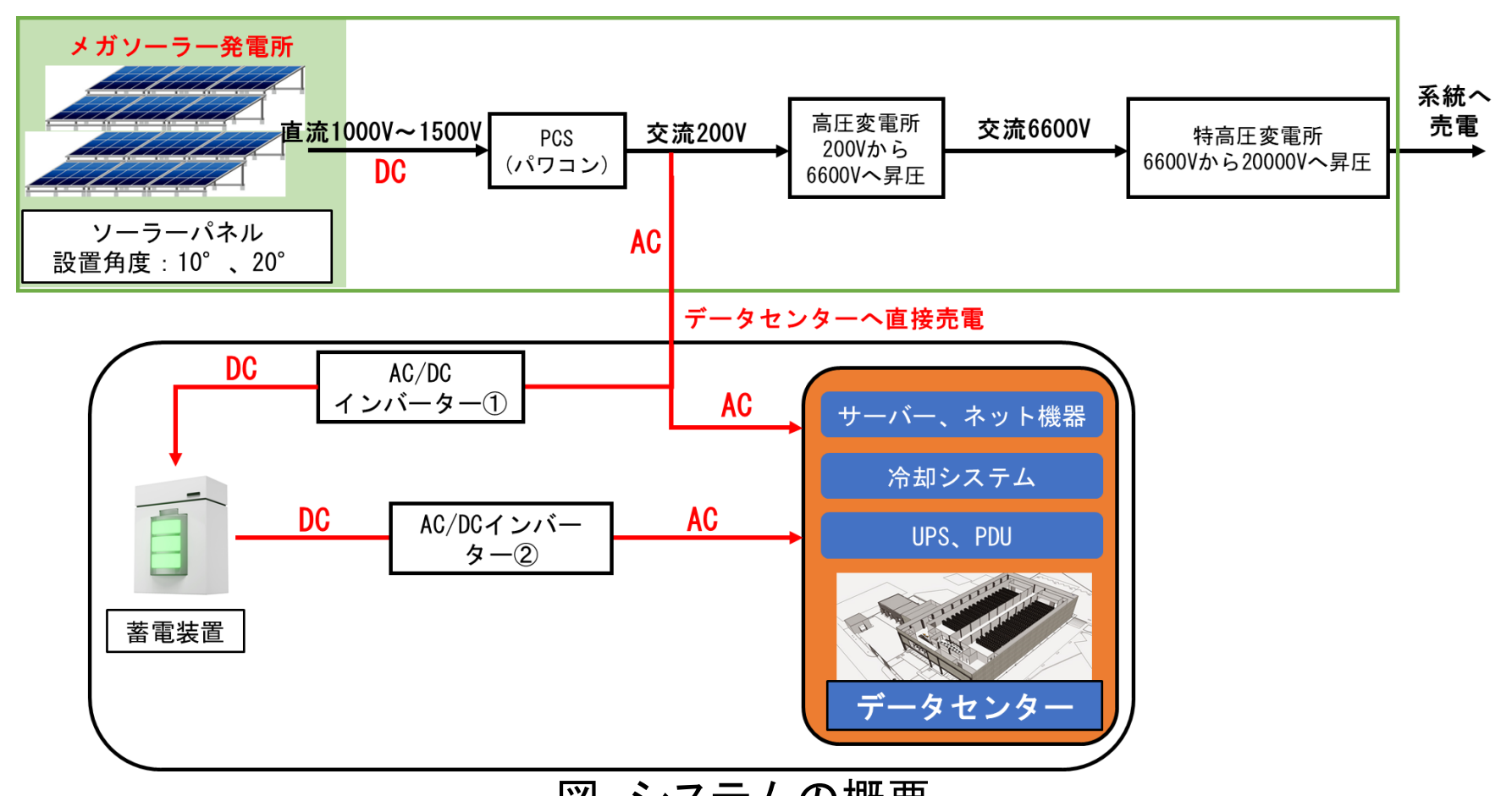


図 システムの概要



太陽光発電を利用したデータセンターに関する研究

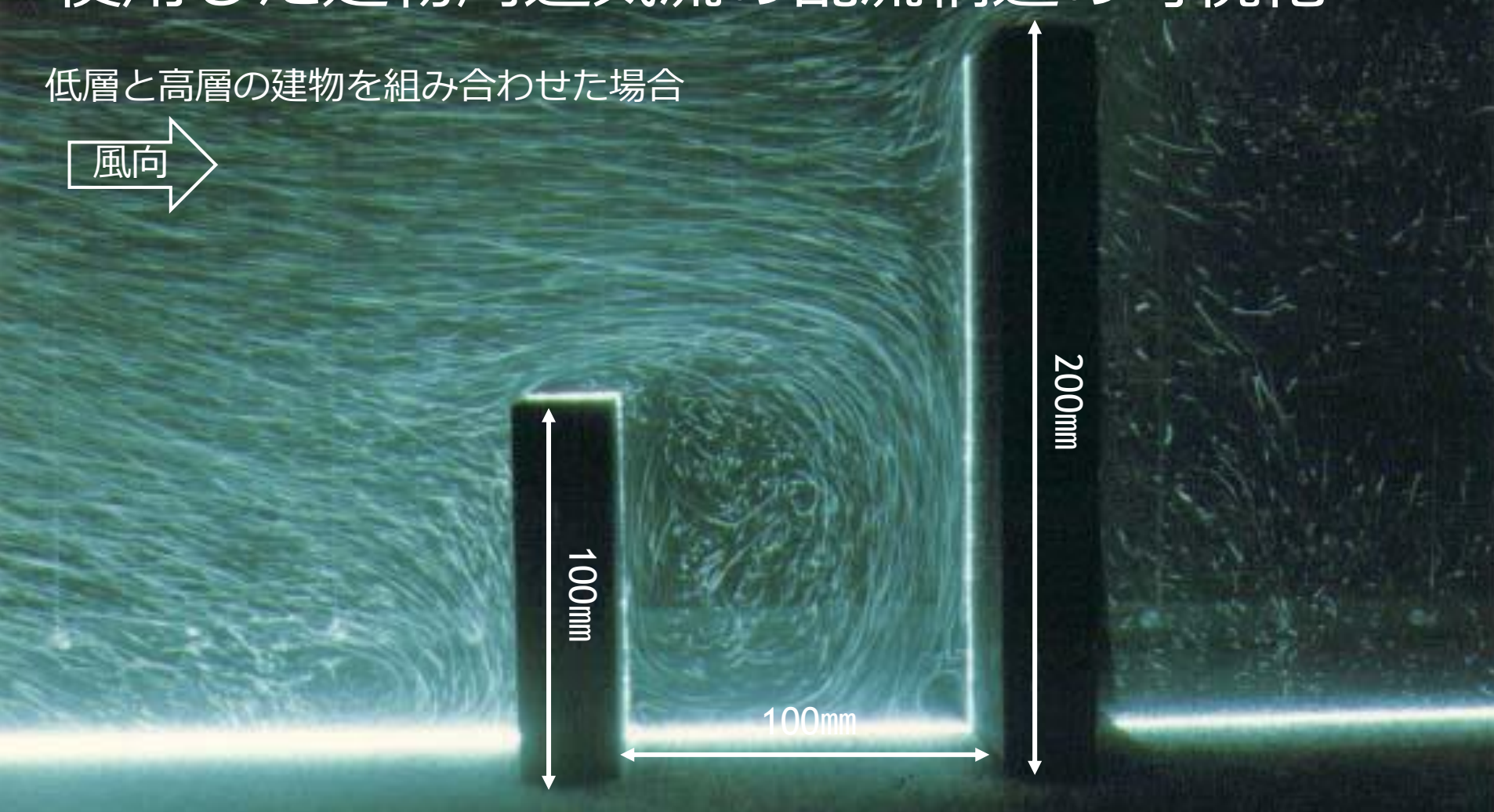
表 各地域における最適設備構成と投資回収年数の分析結果の一例

地域	データセン ターの種類	メガソー ラー発電 容量[MW]	インバー ター① 容量[kW]	蓄電装置 容量 [kWh]	インバー ター② 容量[kW]	投資回収年数[年]
つくば市	DC(1)	10	700	3,711	310	14. 0
		6	740	5,878	310	15. 0
		3	880	12, 425	310	17. 7
	DC2	10	850	4,098	306	14. 4
		6	740	7,039	306	15. 5
		3	1, 200	14, 221	306	18.3
札幌市	DC①	10	1,090	6, 705	307	14. 5
		6	750	10, 239	307	15.8
		3	1, 340	17, 446	307	18.6
	DC2	10	1,090	8,021	304	15. 0
		6	950	11,523	304	16. 2
		3	1,340	20, 122	304	19.3



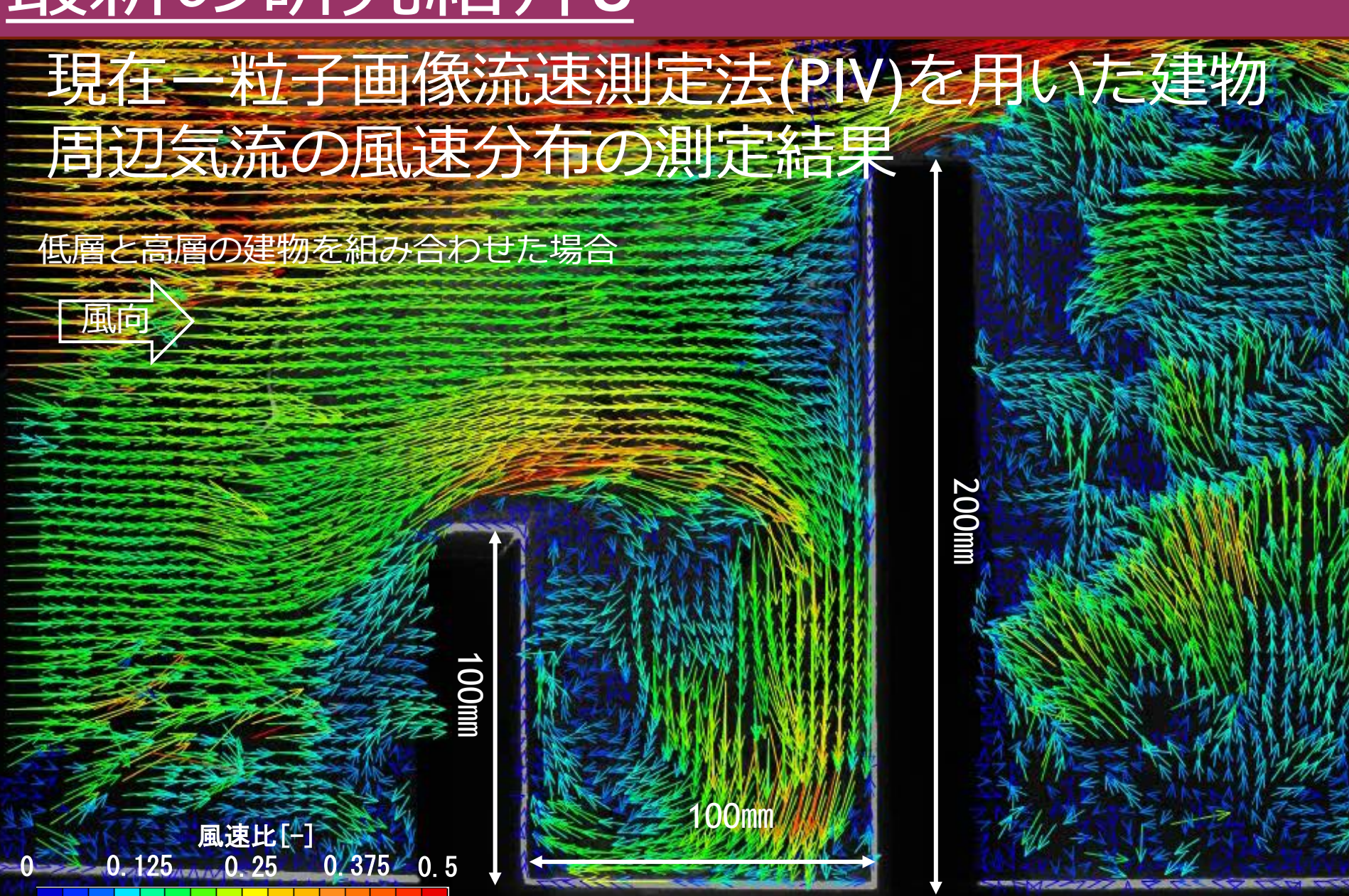
粒子画像流速測定法(PIV)を用いた 室内外気流性状の縮小模型実験

1980年代ーLLS(Laser Light Sheet)を 使用した建物周辺気流の乱流構造の可視化

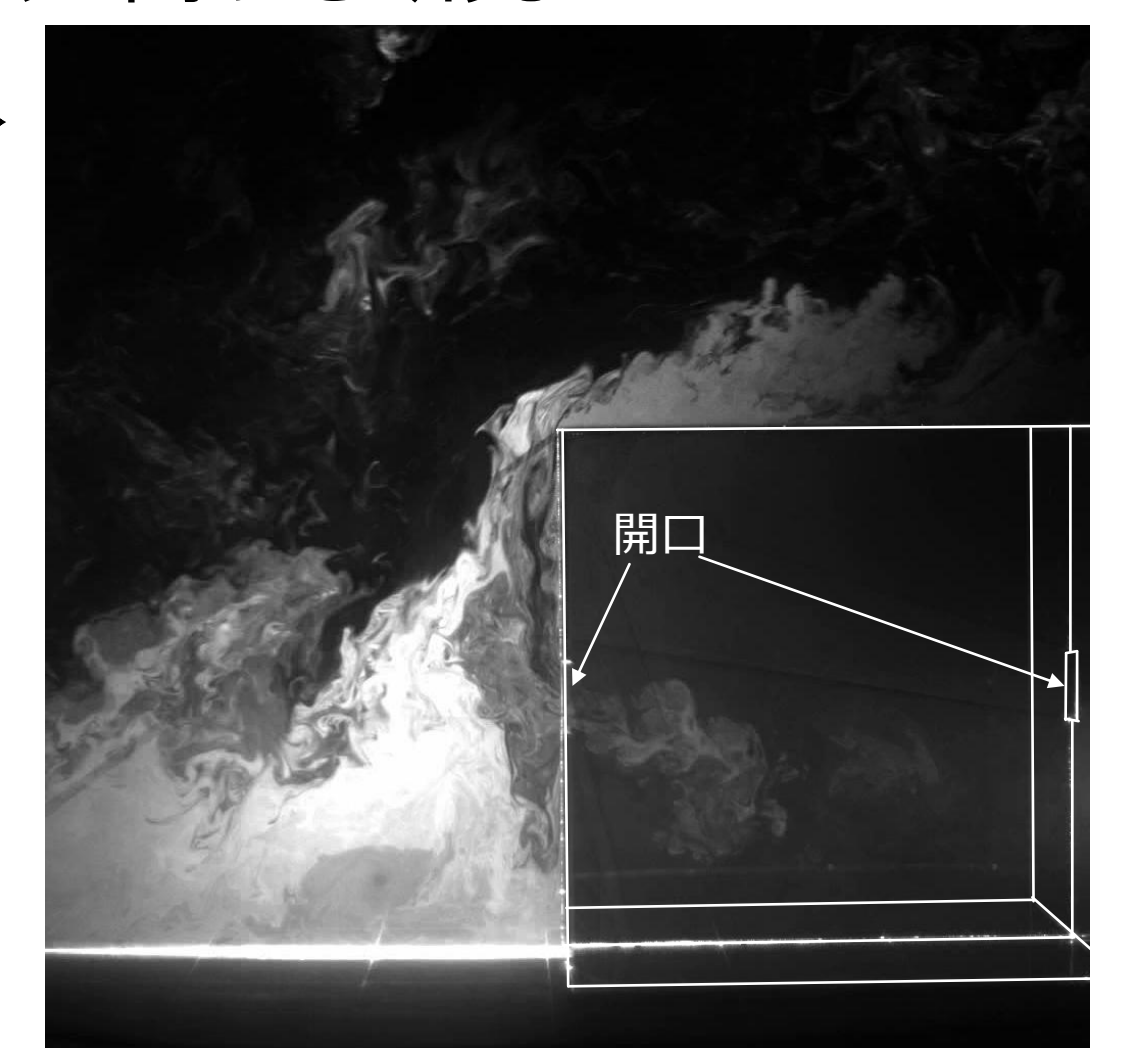


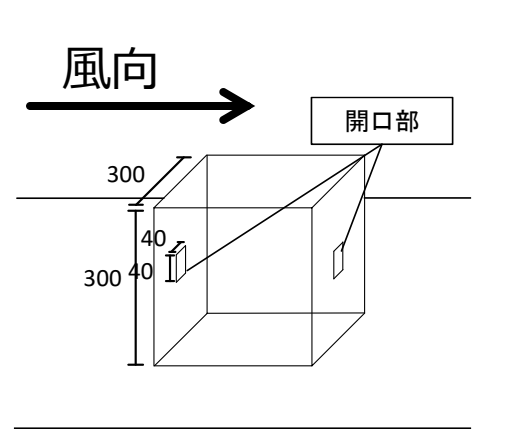
現在一粒子画像流速測定法(PIV)を用いた建物 周辺気流の風速分布の測定結果

低層と高層の建物を組み合わせた場合 100mm

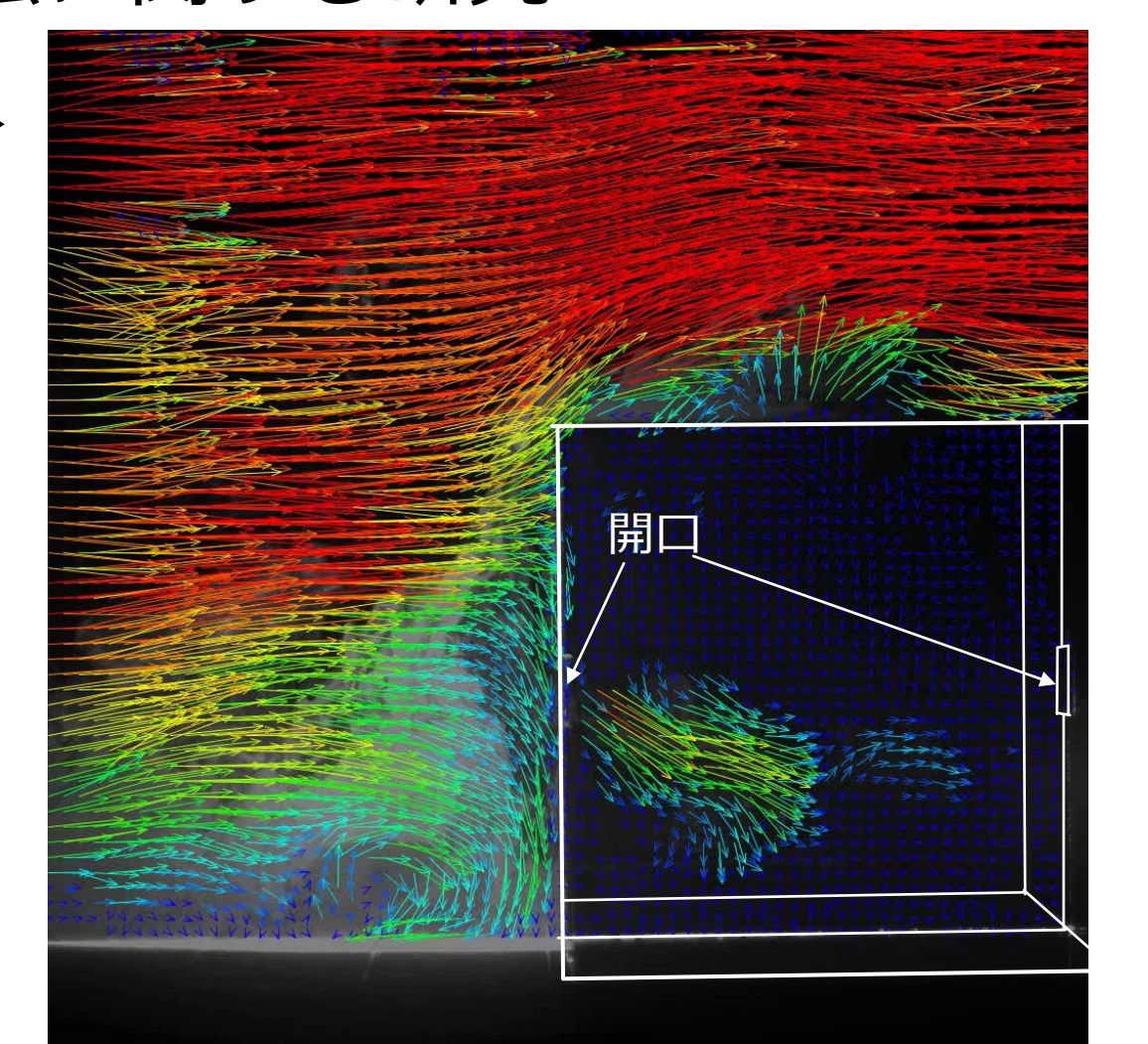


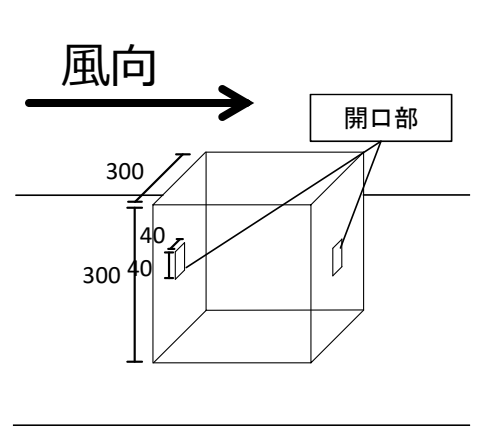
粒子画像流速測定法(PIV)を用いた室内外気流測 定方法に関する研究





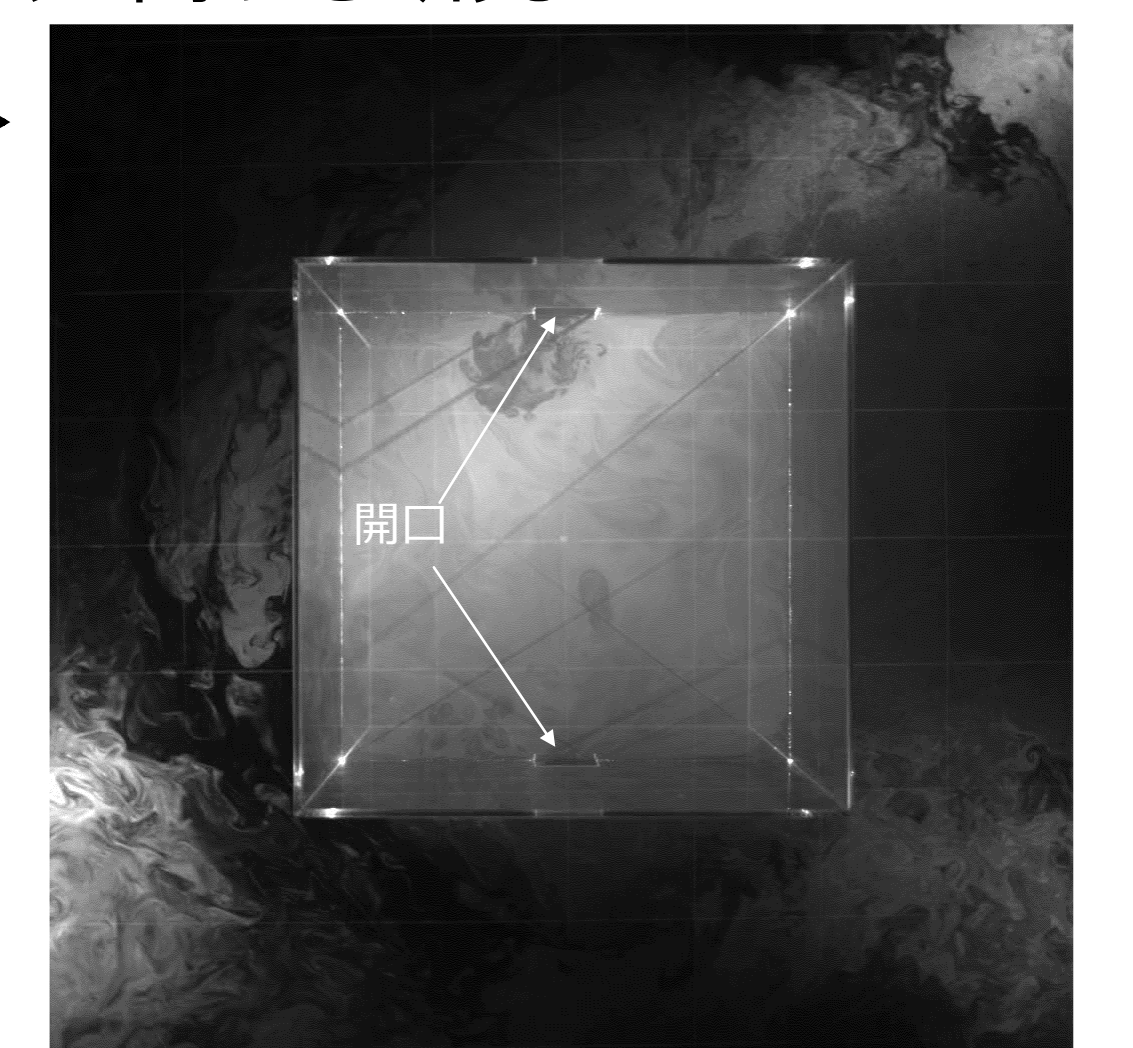
動画 通風模型実験 の可視化結果

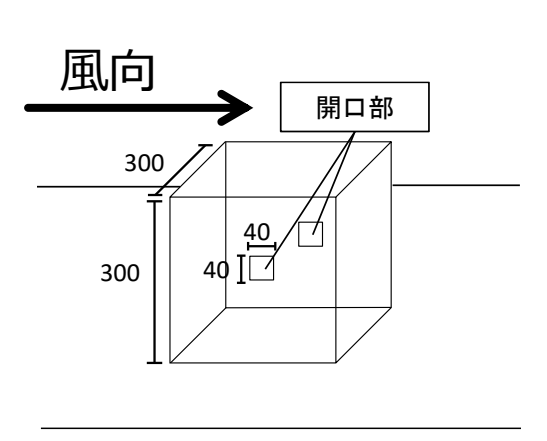




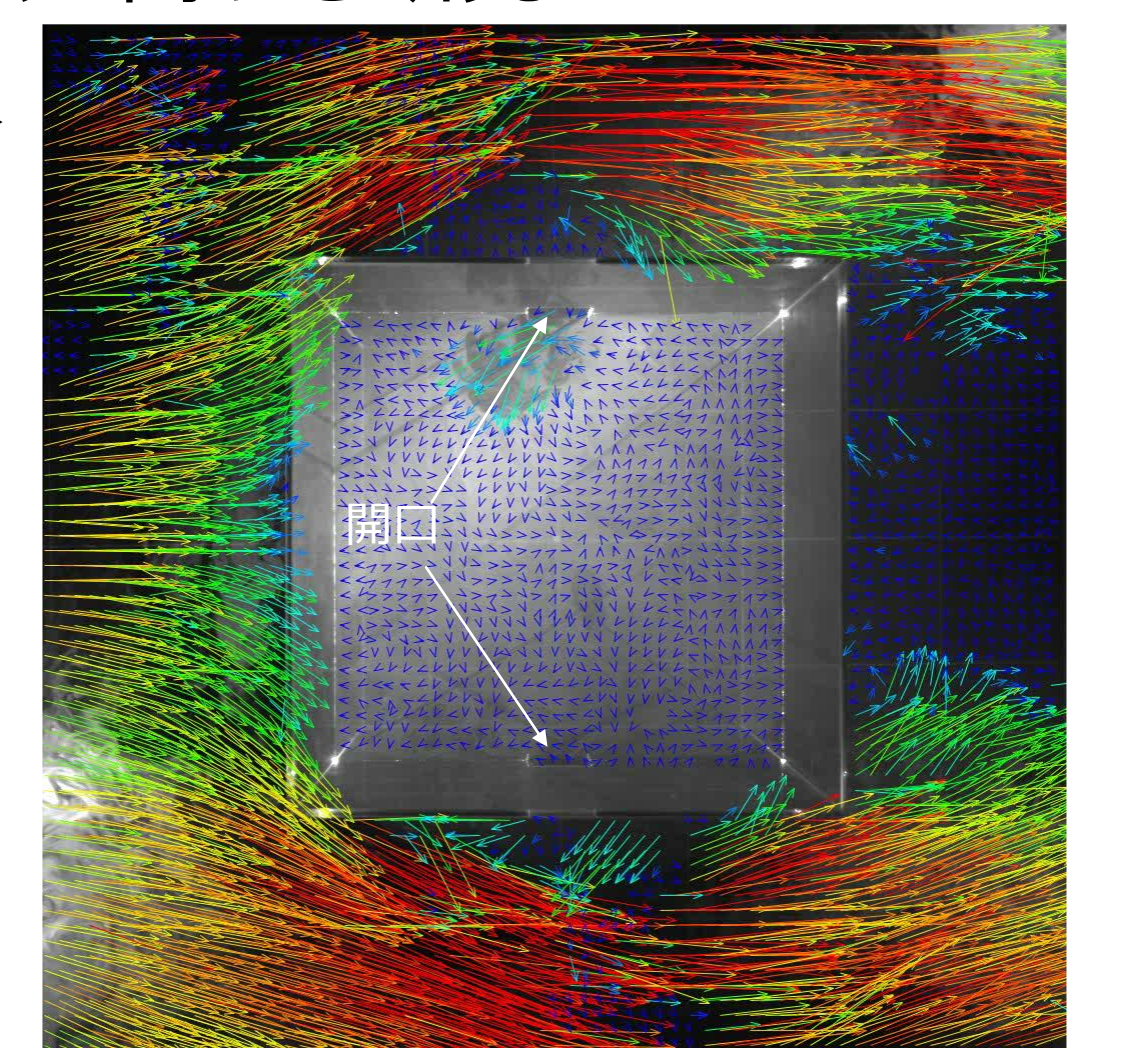
動画 通風模型実験 のPIV解析結果

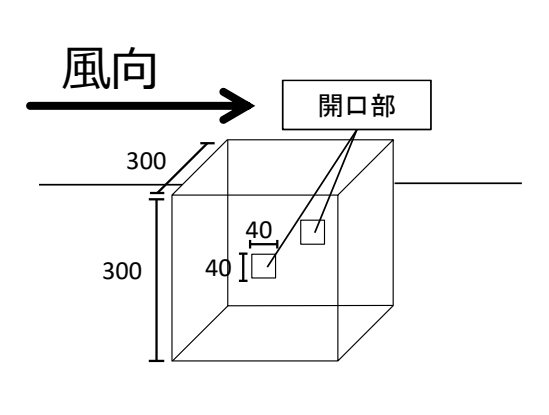
粒子画像流速測定法(PIV)を用いた室内外気流測 定方法に関する研究





動画 通風模型実験 の可視化結果



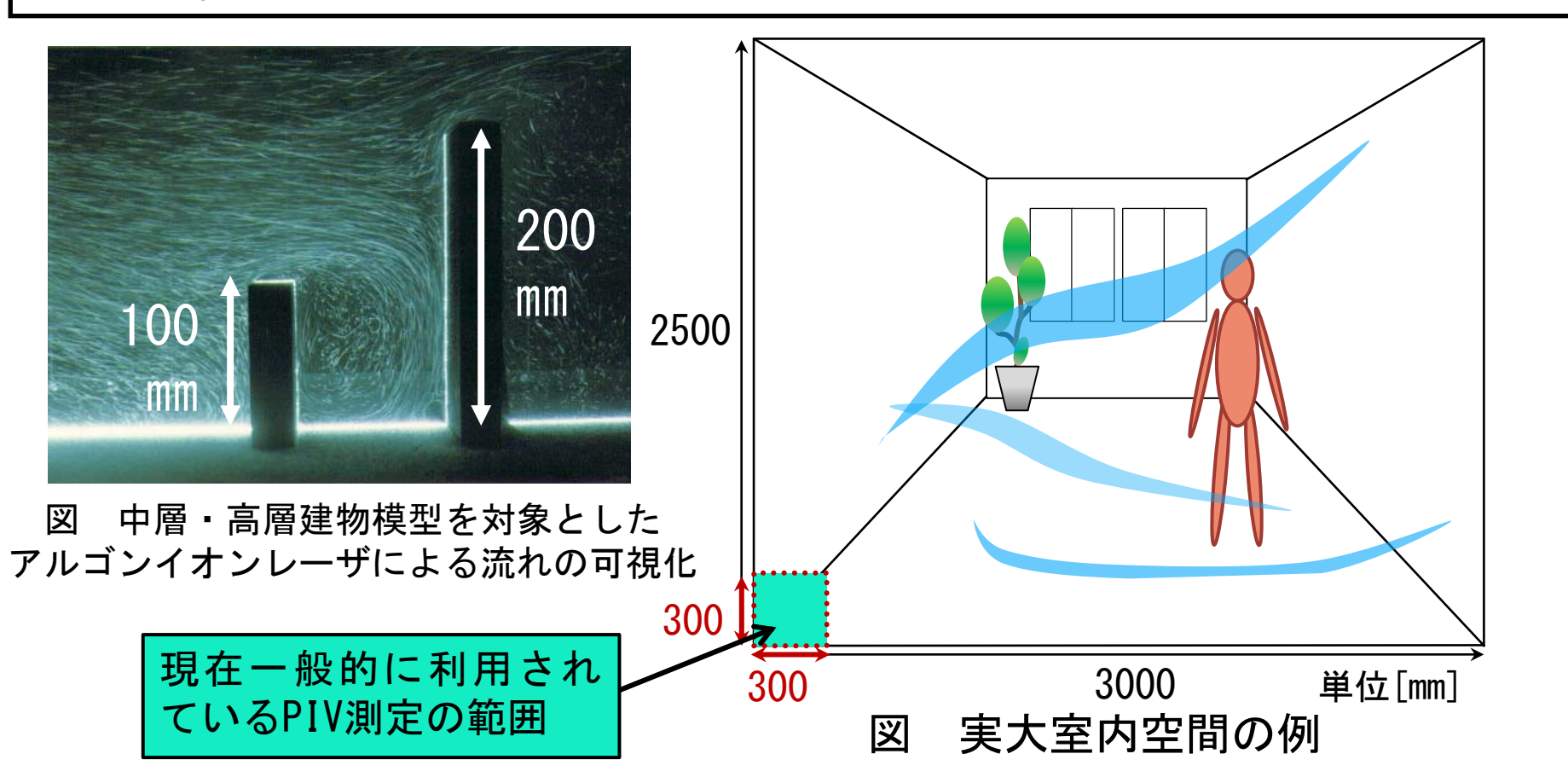


動画 通風模型実験 のPIV解析結果

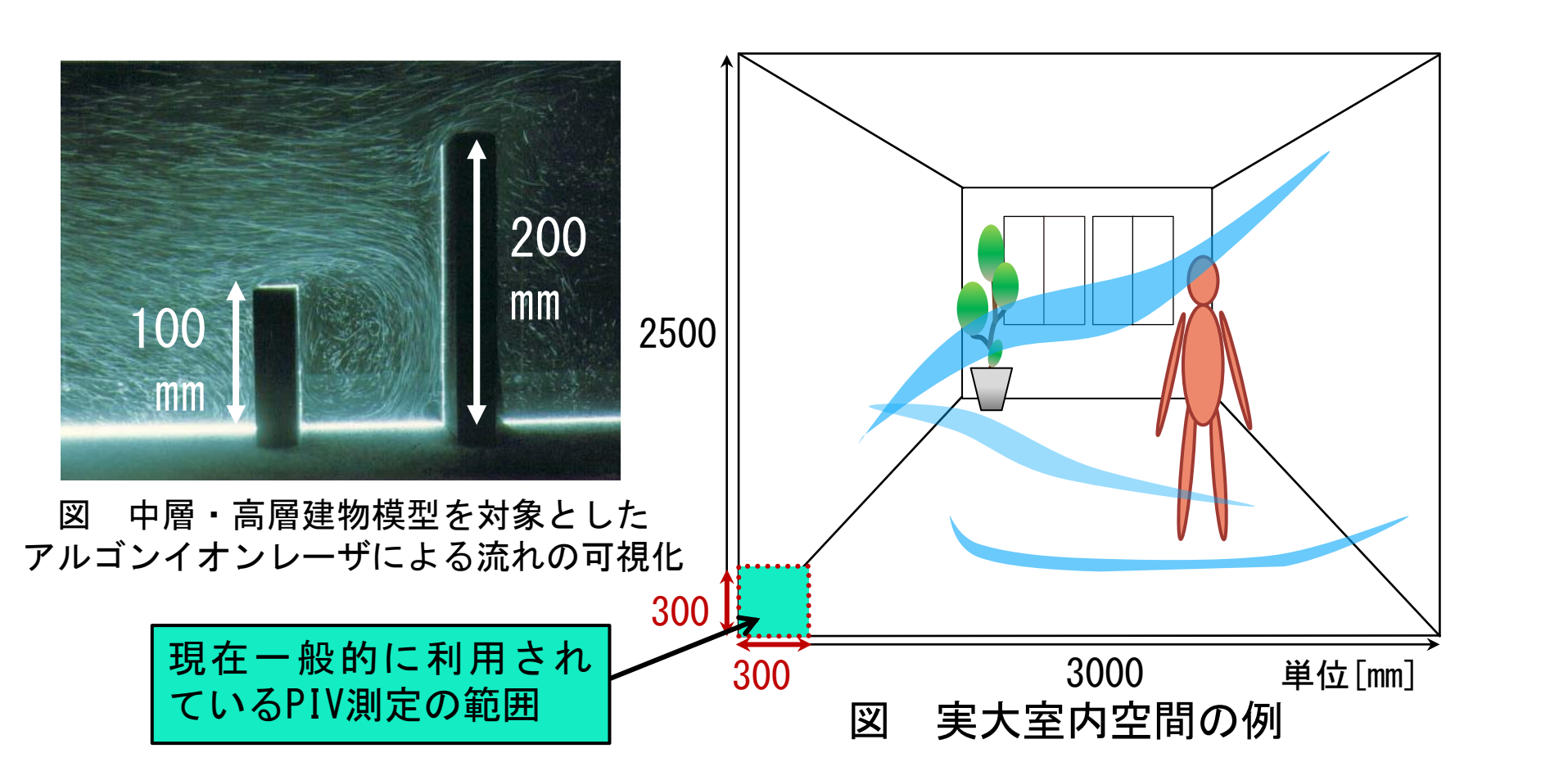


実大室内空間を対象とした PIV測定に関する研究

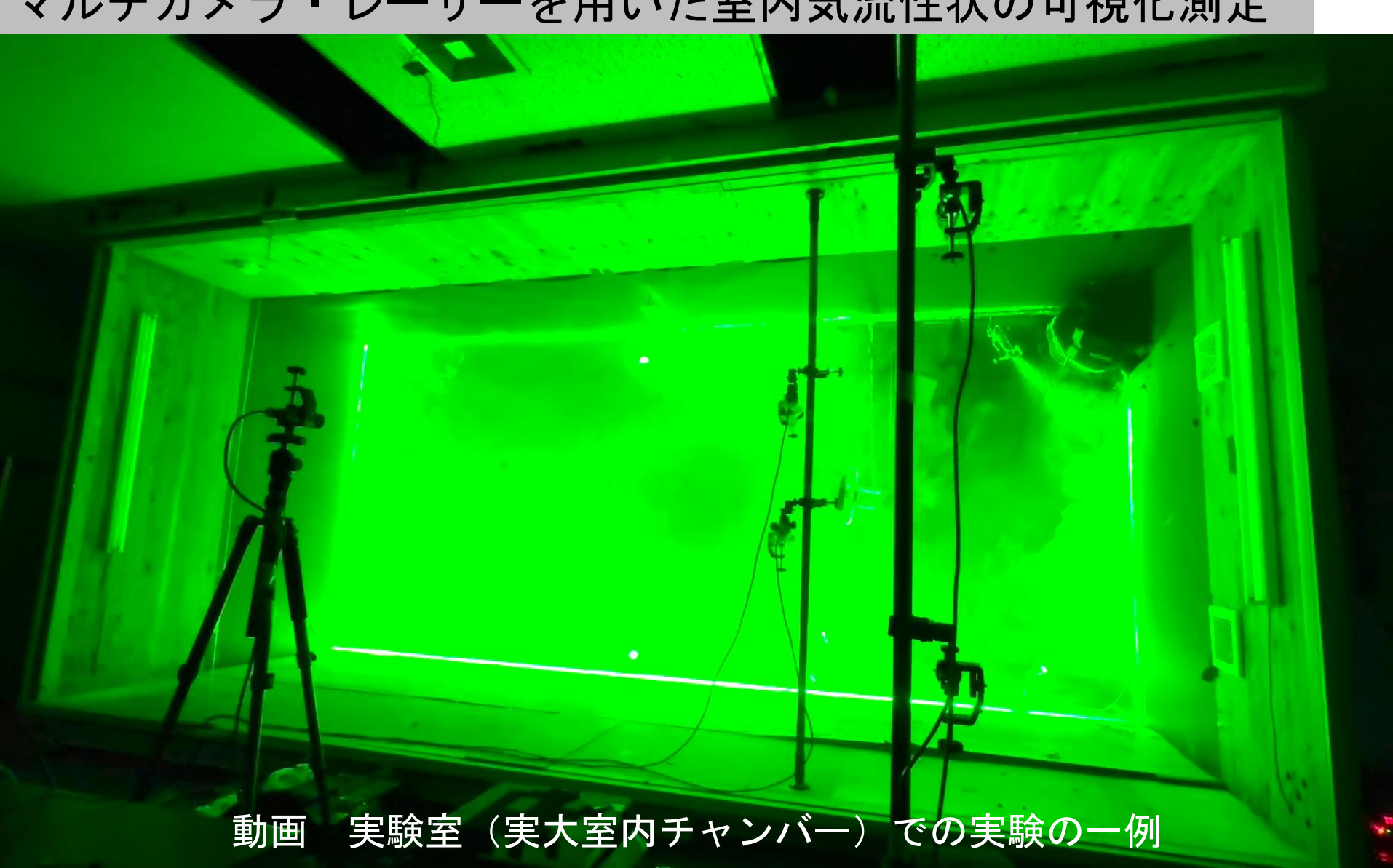
従来、一般的に利用されているPIVシステムは、比較的狭い範囲(約300mm~500mm角)を対象としており、実大室内空間において気流分布を時間的・空間的に連続してPIVで実測した例はない。



PIVによる実際の室内空間を対象にした測定が可能になれば、建物室内の床から天井までの気流分布の空間的・時間的に連続なデータを得ることができる。



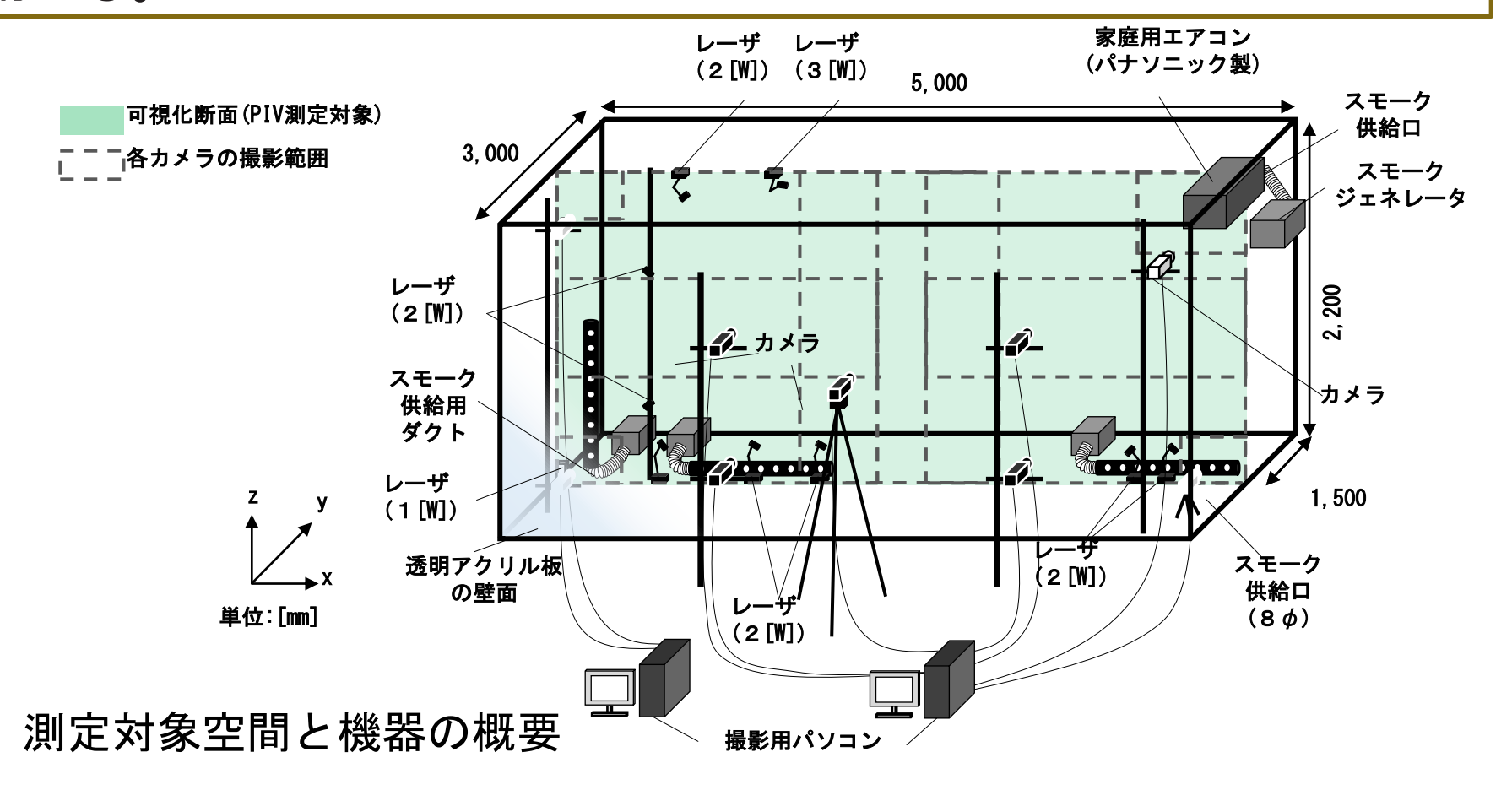
マルチカメラ・レーザーを用いた室内気流性状の可視化測定



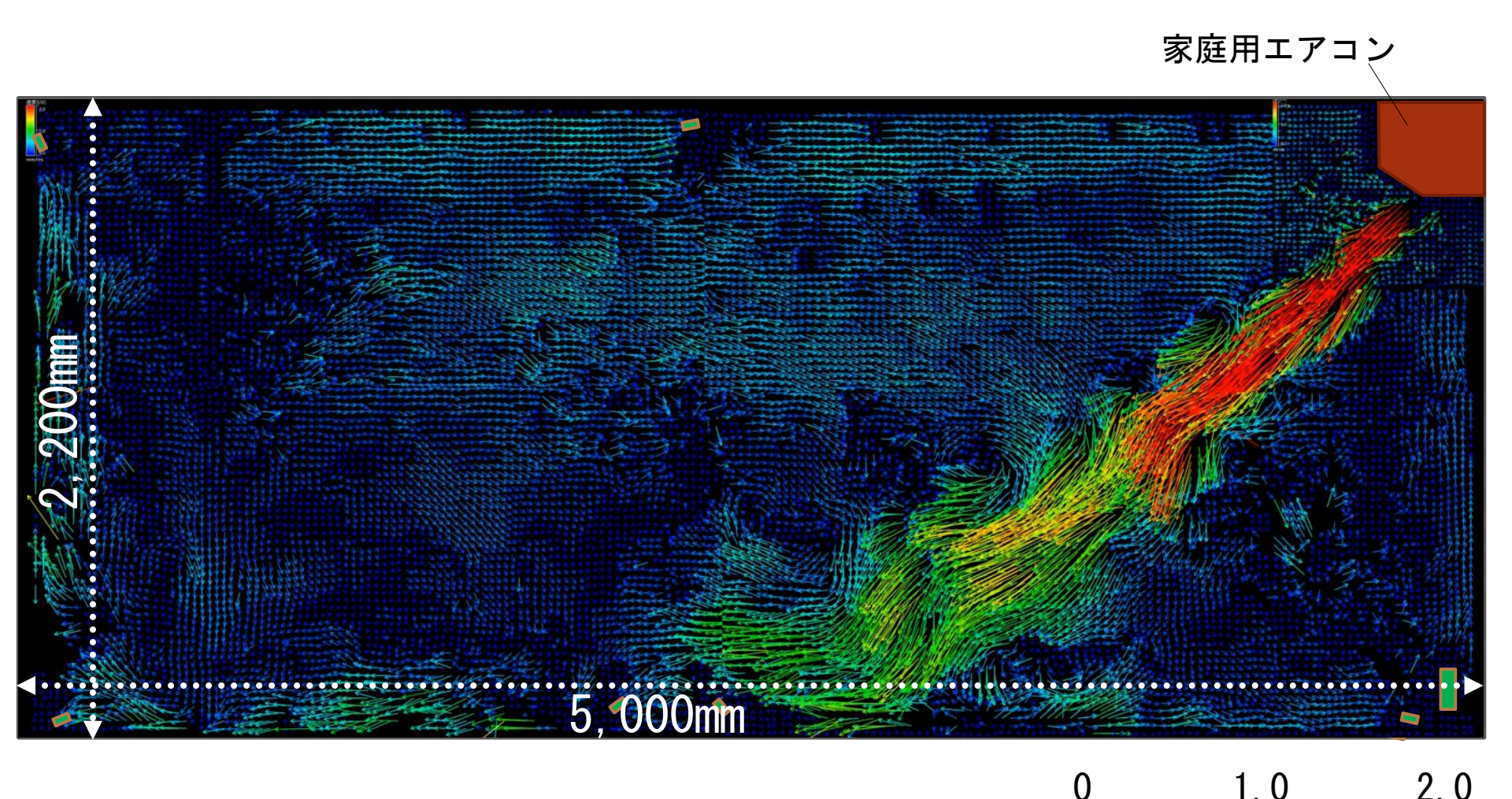
义

マルチカメラ・レーザーを用いた室内気流性状の可視化測定

実験では連続光レーザを10台(3 [W] × 2、2 [W] × 7、1 [W] × 1) 用いる。



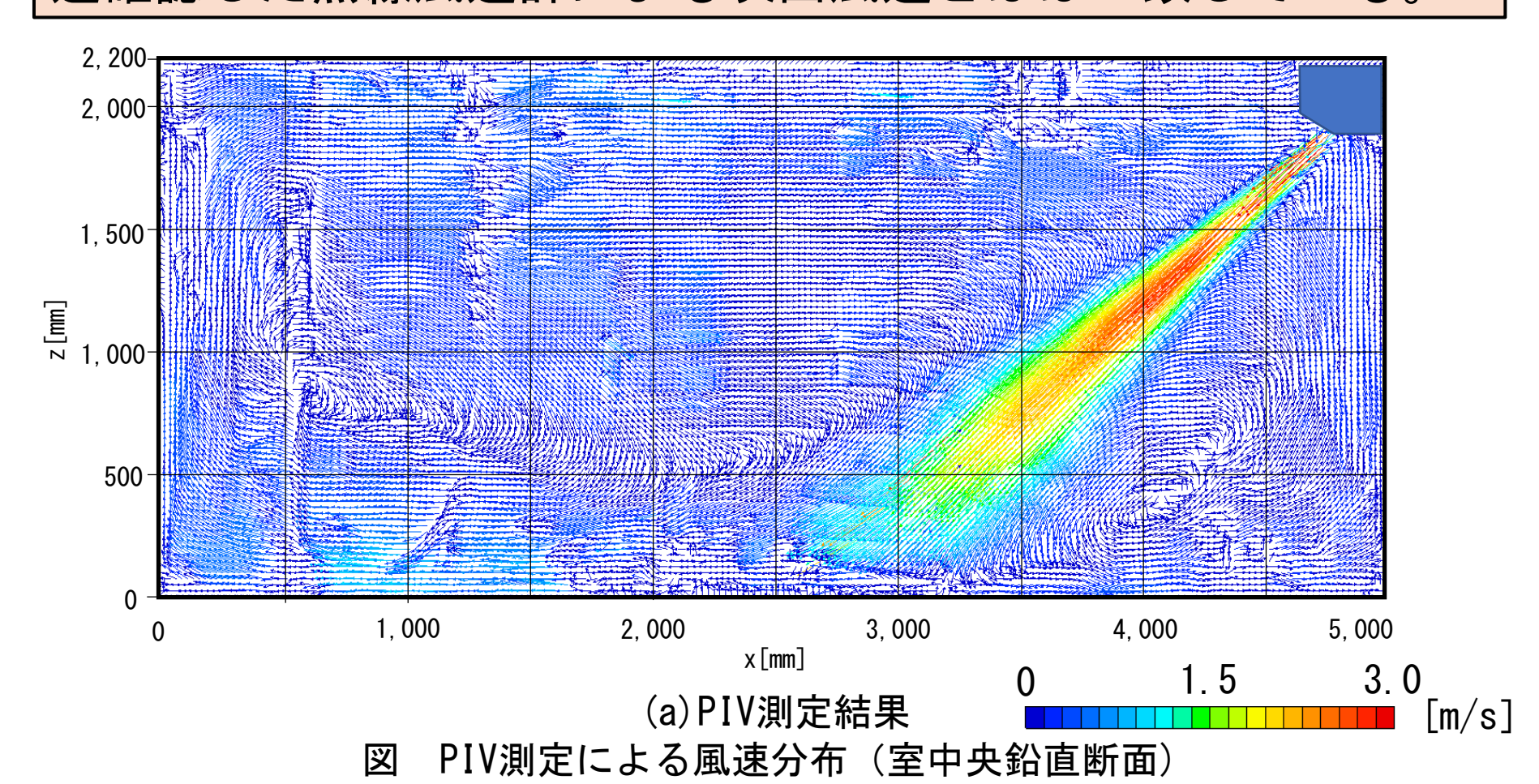
マルチカメラ・レーザーを用いた室内気流性状の可視化測定



風速 [m/s]

マルチカメラ・レーザーを用いた室内気流性状の可視化測定

エアコン吹出部分の中心で風速約4.0[m/s]となる。これは別途確認した熱線風速計による吹出風速とほぼ一致している。



家具や人体 (障害物)を配置した場合の測定

障害物は、case1では測定断面中央部に箱、case2では机、case3、case4では机に加えて椅子に座った模擬人体(マネキン・発熱なし)とする。

表 実験case					
	障害物	風向			
case1	机を 模擬した箱				
case2	机	水平から 下向き51[°]			
case3	机+ マネキン				
case4	(着席)	水平から 下向き22[°]			

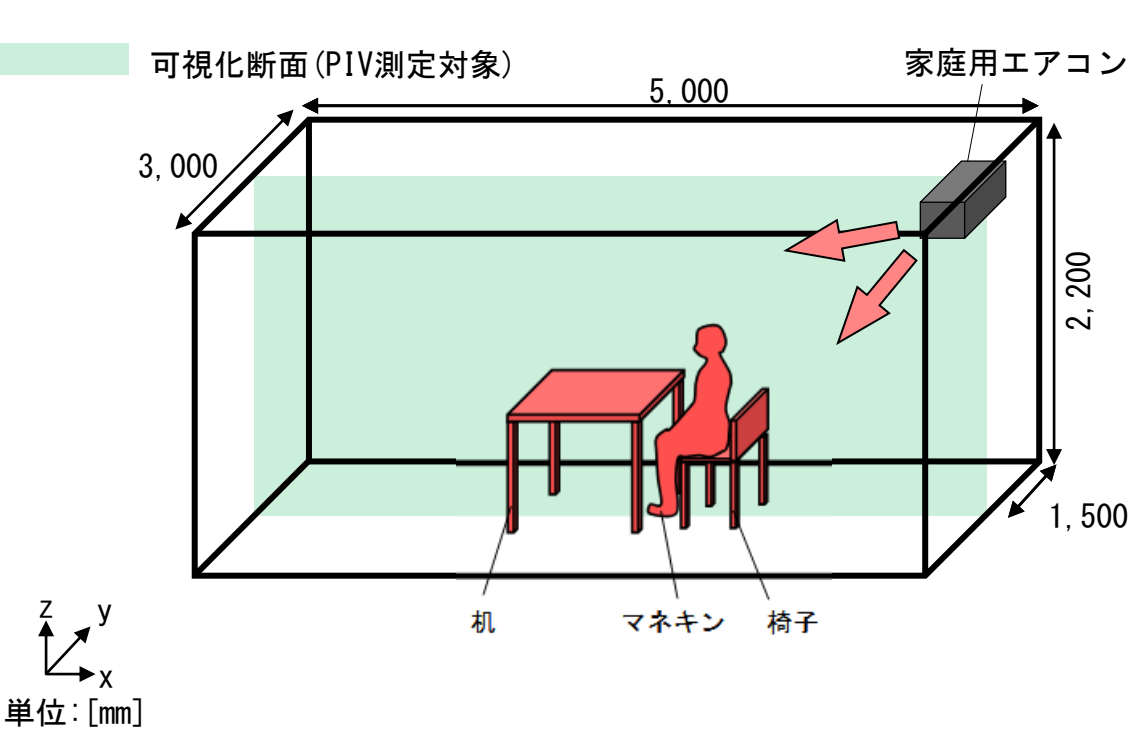
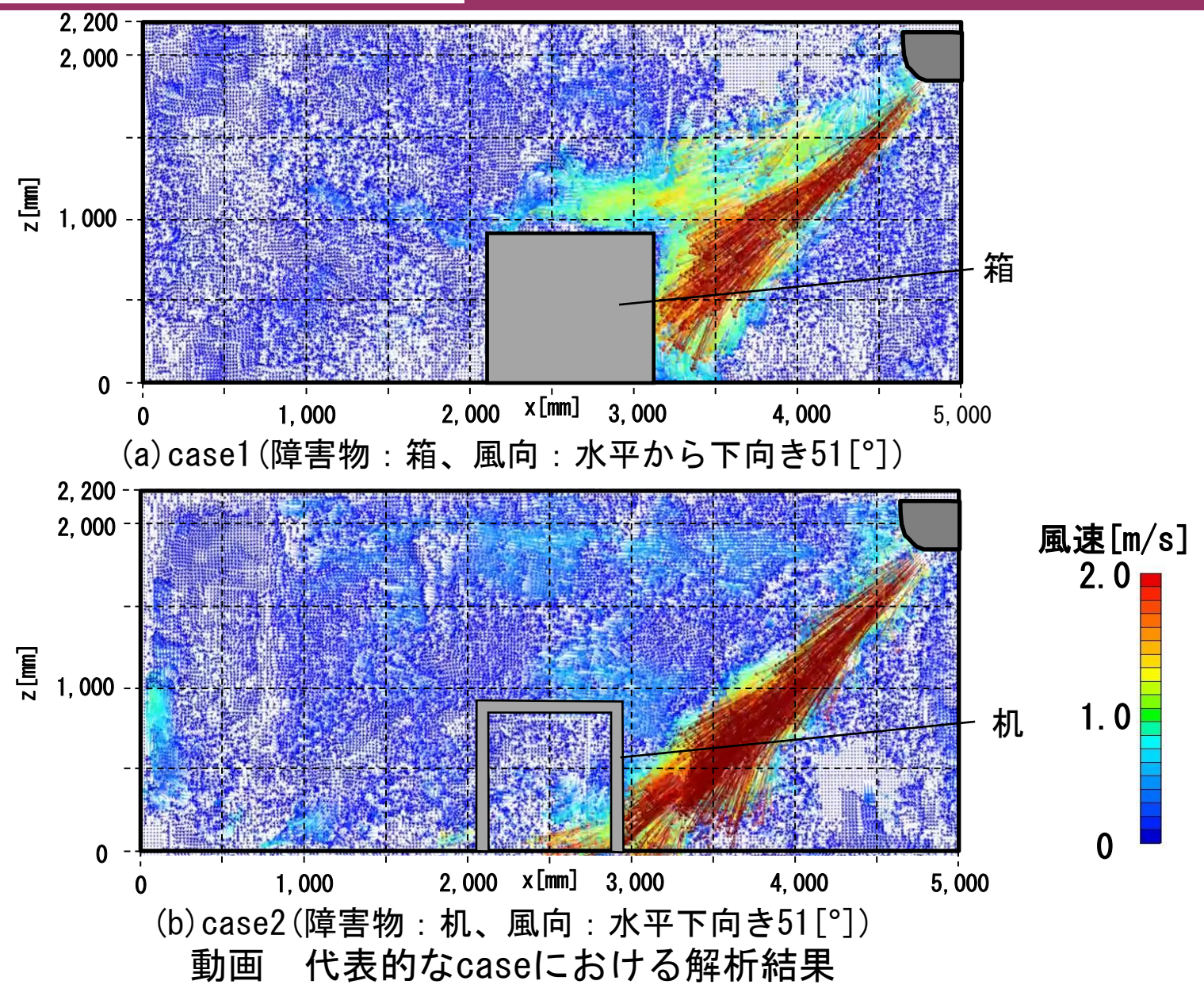
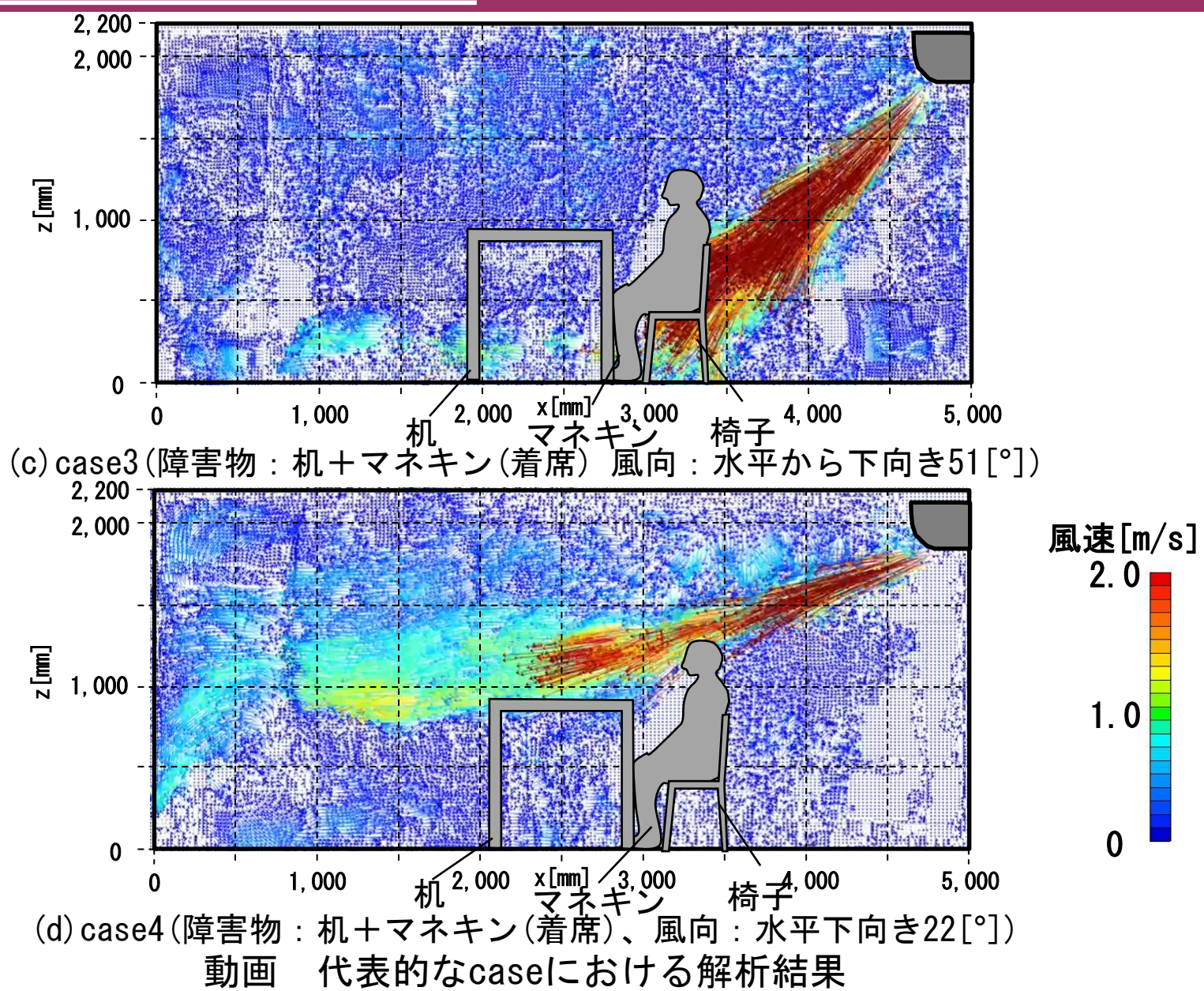


図 測定対象空間の概要





人体周辺の詳細な気流性状の測定

撮影には異なる性能のカメラAとBを用いる。

カメラAを人体周囲の領域を均等に6分割するように設置する。 カメラBを人体周辺の局所的な気流を詳細に撮影するため、各所に1台ずつ 接近して配置する。

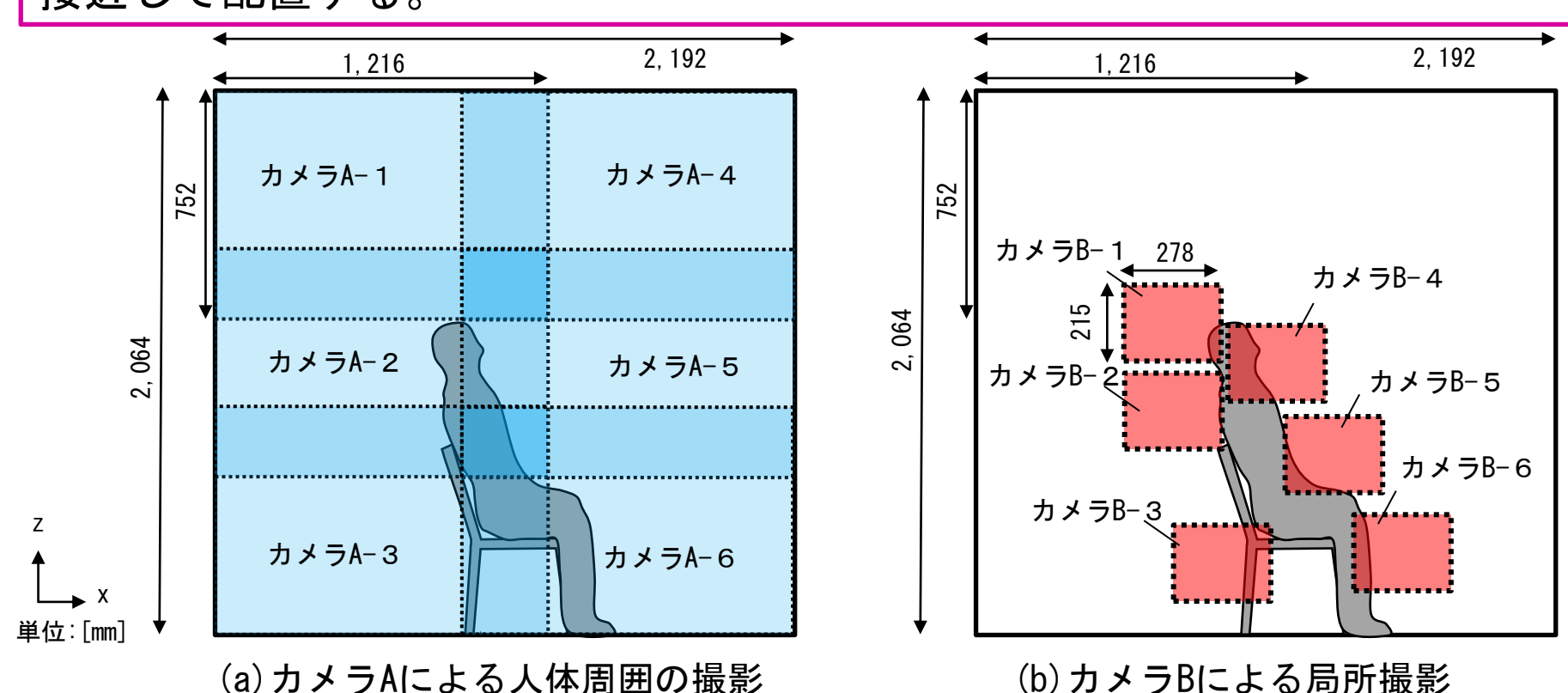
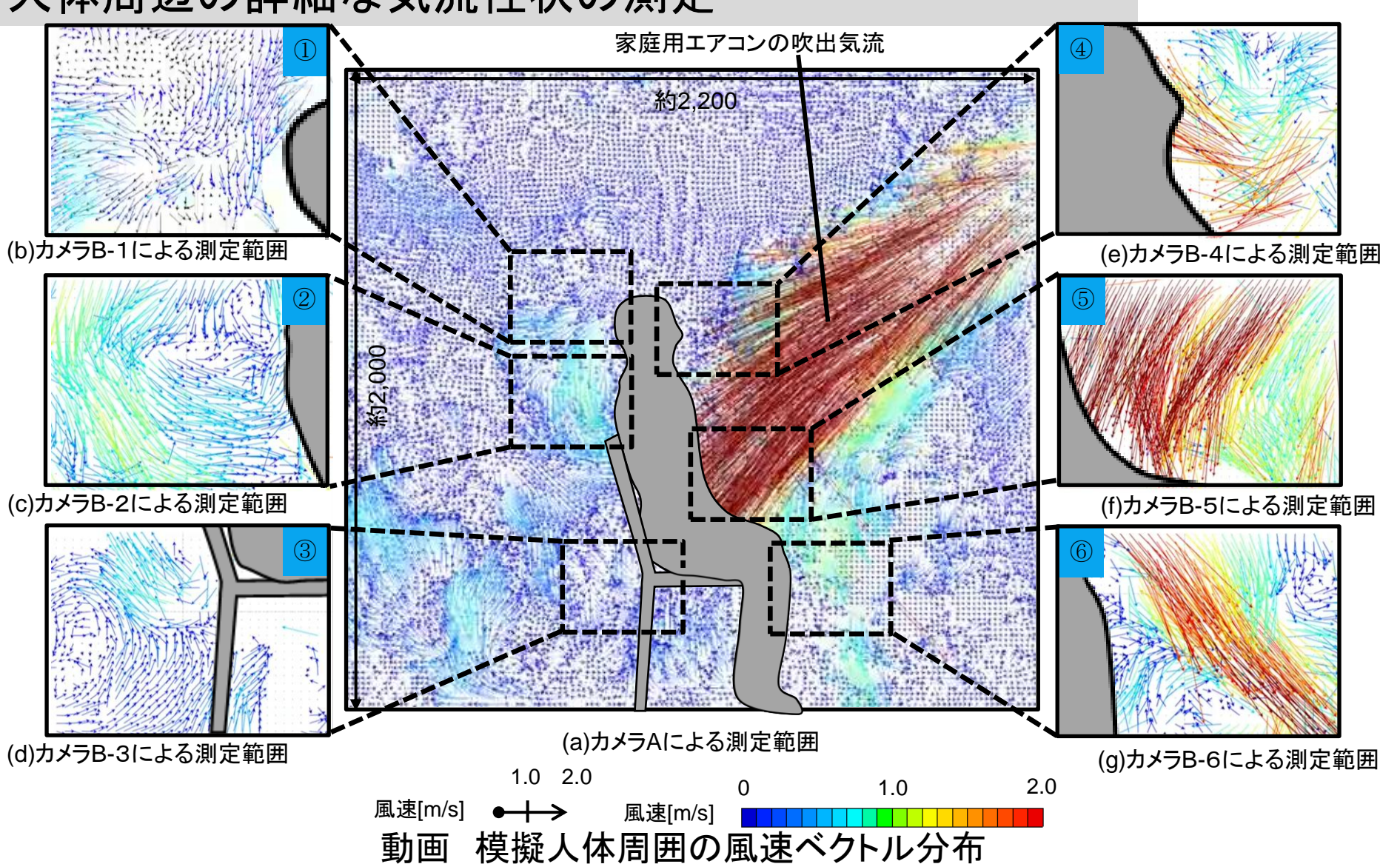


図 可視化断面のカメラ配置とPIV解析結果の合成方法

人体周辺の詳細な気流性状の測定



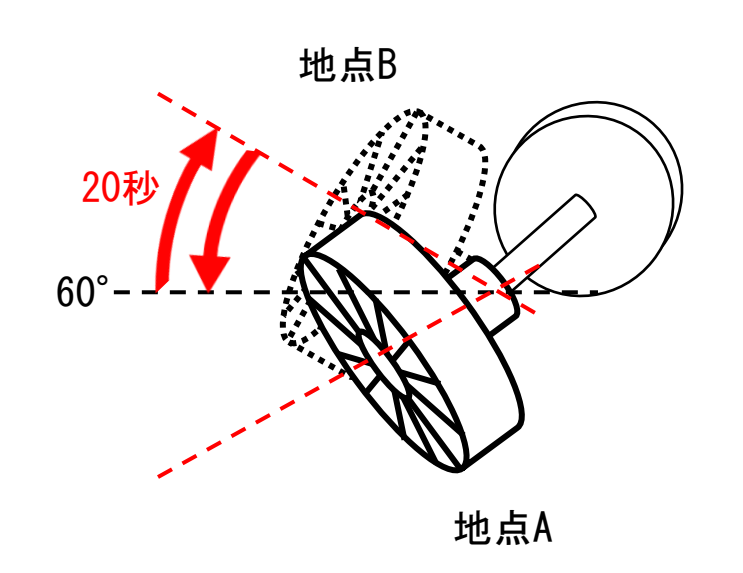
首振りする扇風機の気流性状のPIV測定

○扇風機の概要

- 寸法[mm] 340(幅)×680(高さ)×340(奥行)
- · 風量 12段階中6

(吹き出し直後の風速約3.0[m/s])

方向左右30°ずつ首振り運転



- ○首振りパターン
- ①19秒移動(AからB)
- ② 1 秒停止(B)
- ③19秒移動(BからA)
- ④ 1 秒停止(A)
- ①~④を繰り返す
- ※ 1 サイクル40秒

図 扇風機の概要

首振りする扇風機の気流性状のPIV測定

扇風機(風量6)可視化動画(60秒)

5,000

動画可

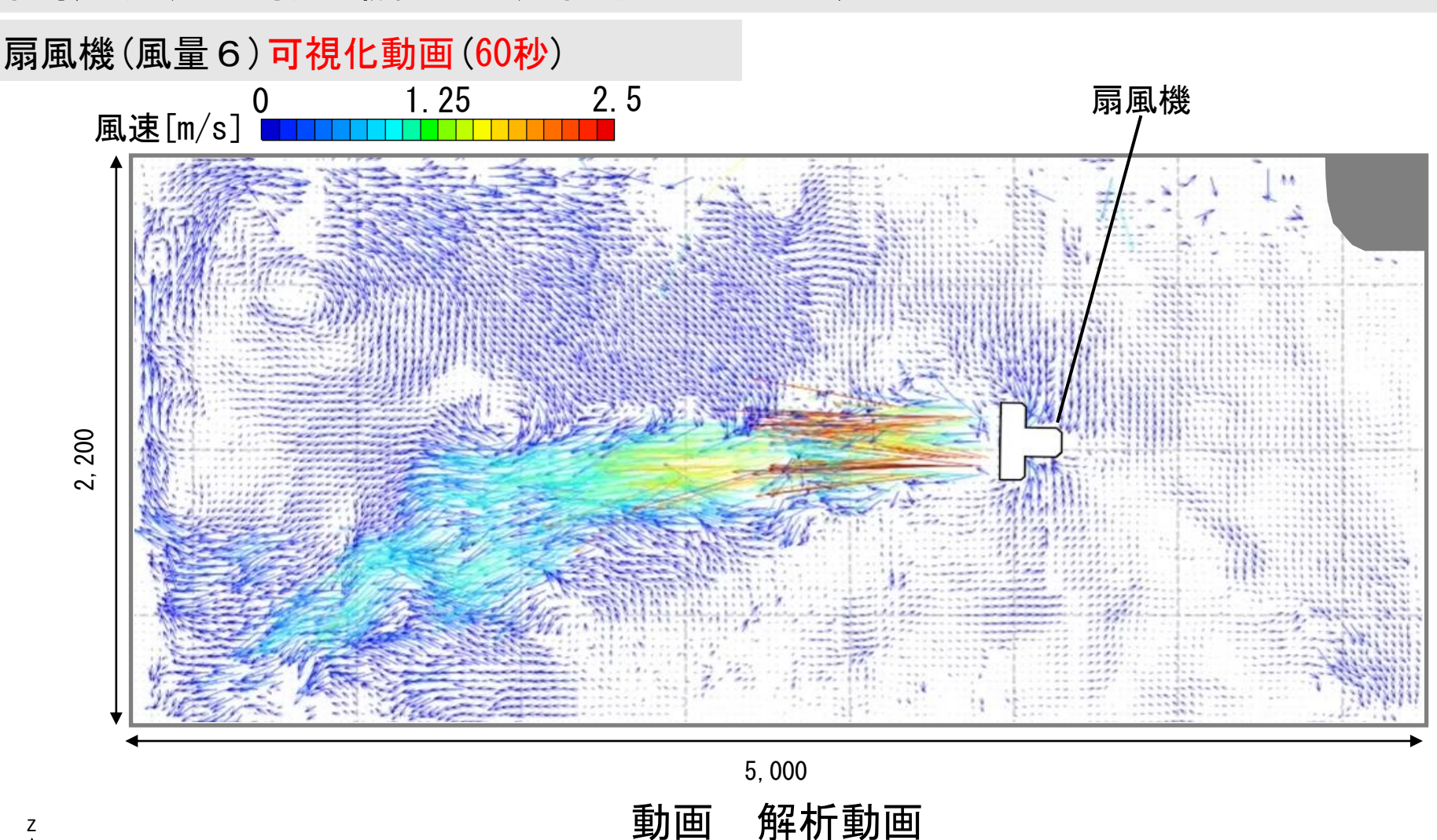
可視化動画

扇風機



単位:[mm]

首振りする扇風機の気流性状のPIV測定



赤林研究室 卒業生数

表 各年代の卒業生数

	学部卒業	修士修了
昭和63年	4	0
平成1年	2	0
平成2年	3	1
平成3年	4	0
平成4年	8	1
平成5年	6	1
平成6年	6	4
平成7年	6	4
平成8年	9	0
平成9年	6	1
平成10年	7	3
平成11年	6	0
平成12年	6	4
平成13年	2	3
平成14年	3	1
平成15年	5	0
平成16年	6	2

	学部卒業	修士修了
平成17年	6	2
平成18年	6	2
平成19年	5	2
平成20年	5	2
平成21年	5	3
平成22年	5	3
平成23年	6	1
平成24年	5	4
平成25年	8	2
平成26年	6	1
平成27年	4	3
平成28年	7	4
平成29年	6	2
平成30年	5	3
令和1年	5	7
令和2年	4	6
計	177	72





<u>この他 博士課程(社会</u> 人博士含む):計16名

<u>卒業生の皆様のご協力でこれまでの研究を行うことができました。</u>



















当時はコロナ禍の最中









